

Institut Physico-Mathématique de l'Académie des Sciences de l'URSS.

Bulletin mensuel
de la station sismique de 1^{ère} classe

LENINGRAD

$\varphi = 59^{\circ} 56' 27''$ N, $\lambda = 30^{\circ} 18' 19''$ E, h = 3m.

Sous-sol: argile.

Instruments: Sismographes aperiodiques de Galitzine avec enregistrement galvanométrique.

Date	Phases	Heures	T_p	Amplitudes			Δ	Remarques
				A_n	A_e	A_z		
		<i>h m s</i>	sec.	μ	μ	μ	kl.	
1/1	<i>e(P)</i>	18 7 55					(1710)	e (P) menues trépidations.
	<i>e(S)</i>	10 52	4.4					
	<i>L</i>	11.3						
	<i>M₁</i>	15 15	9.8			+ 13		
	<i>M₂</i>	18	9.0		+ 8			
	<i>M₃</i>	29	8	+ 5				
	<i>F</i>	57						
	<i>eL</i>	22 36.7	25					
	<i>F</i>	23						
5	<i>L</i>	8 32 5	20					Forts MSI.
	<i>F</i>	9 25						
	<i>e(P)</i>	10 12 43					(5870)	Faible.
	<i>e</i>	17 28						
	<i>e(S)</i>	20 12						
	<i>L</i>	27						
7	<i>F</i>	11 20						
	<i>e</i>	0 9 30						F parmi forts MSI.
	<i>L</i>	32.5						
	<i>i</i>	14 40 32						
	<i>e</i>	48 3						
	<i>L</i>	56						
	<i>M₁</i>	15 2 10	16			- 7		
	<i>M₂</i>	3 5	18		+ 5			
<i>F</i>	16 20							

Date	Phases	Heures			T_p sec.	Amplitudes			Δ kl.	Remarques
		<i>h</i>	<i>m</i>	<i>s</i>		A_n μ	A_e μ	A_z μ		
8/1	<i>eL</i> <i>F</i>	13	3							
13	<i>iP</i> <i>PR</i> <i>iS</i> <i>iSR₁</i> <i>L</i> <i>M₁</i> <i>M₂</i> <i>M₃</i> <i>F</i> <i>iP</i> <i>PR</i> <i>iS</i> <i>L</i> <i>M₁</i> <i>M₂</i>	5	51	46	2;5 10 10 10 13.6 12.4				2410	Onde condensée. $\alpha = 0^\circ$ S, $\varphi = 37^\circ 55'$ N, $\lambda = 30^\circ 18'$ E. Asie Mineure. $\bar{e} = 33^\circ 27'$.
		2	0	24			- 8			
			1					- 19		
				6		+ 13				
			40							
		8	13	29	2;5				2430	Onde condensée. De même origine.
				50						
			17	28	10					
			18.8							
			22	6	10		- 6			
				44	13			- 12		F pendant le changement du papier.
14	<i>e</i> <i>F</i>	21	19	53						<i>e</i> menues trépidations.
			30							
15	<i>e</i> <i>F</i>	0	49	41						
		1	16							
	<i>e</i> <i>F</i>	4	24	1						
			34							
	<i>eL</i> <i>F</i>	6	5							
			20							
18	<i>e</i> <i>L</i> <i>M₁</i> <i>M₂</i> <i>M₃</i> <i>F</i> <i>S</i> <i>L</i> <i>M₁</i> <i>M₂</i> <i>F</i>	11	32	30	5 8.4 8.5 7.6					
			36			- 4				
			40	20				+ 4		
				53						
			41	12			+ 4			
		12	17							
		17	19	16	6.8					Début indistinct.
			43.3							
			45	55	18			- 3		
			50	27	16	+ 3				
		18	30							

Date	Phases	Heures			T_p	Amplitudes			Δ	Remarques
						A_n	A_e	A_z		
		<i>h</i>	<i>m</i>	<i>s</i>	sec.	μ	μ	μ	kl.	
18/1	<i>iP</i>	21	19	17	2;3				8470	Onde condensée. $\alpha = 73^\circ 0' \text{ SE}$, $\varphi = 3^\circ 42' \text{ N}$, $\lambda = 98^\circ 49' \text{ E}$. Océan Indien.
	<i>iPR₁</i>		22	14						
	<i>iPR₂</i>		24	14						
	<i>iS</i>		29	1	9					
	<i>iSR₂</i>		37	52						
	<i>L</i>		41.7							
	<i>M₁</i>		57	42	15.8	-27				
	<i>M₂</i>		59	12	16.2			-27		
	<i>M₃</i>			15	15.8		+15			
	<i>M₄</i>		2	31	16	+17				
	<i>M₅</i>		3	1	15			+16		
	<i>M₆</i>			3	15		-9			
	<i>M₇</i>		7	31	15			+14		
	<i>M₈</i>			34	14		-6			
	<i>M₉</i>		10	59	14		+4			
	<i>M₁₀</i>		11	7	14			-9		
	<i>C₁</i>	22	41	27	14			+		
	<i>C₂</i>		45	20	15	+				
	<i>M₁'</i>	23	42	3	18			+2		
	<i>M₂'</i>		46	7	18			+2		
<i>M₃'</i>		56	24	18		+2				
<i>F</i>	0	26								
23	<i>iP</i>	3	24	23	3;4				9030	Onde condensée. Principale phase faible.
	<i>eS</i>		34	35						
	<i>L</i>		52.5		18					
	<i>F</i>	4	8							
24	<i>eL</i>	2	20.5		17					Eloigné. MSI.
	<i>F</i>	3								
25	<i>P</i>	0	51	29					12740	Onde dilatée.
	<i>e</i>		55	41						
	<i>PR₁</i>		56	18	2;4					
	<i>PR₂</i>		58	45						
	<i>eS</i>	1	4	16						
	<i>PS</i>		5	52	8					
	<i>SR₁</i>		12	37						
	<i>SR₂</i>		17	9						
	<i>L</i>		27							
	<i>M₁</i>		42	29	20.6			-70		
<i>M₂</i>			32	21.8		+102				

Date	Phases	Heures	T_p	Amplitudes			Δ	Remarques
				A_n	A_e	A_z		
		<i>h m s</i>	sec.	μ	μ	μ	kl.	
25/1	M_3	1 45 9	18.8		+ 76			
	M_4		18	+134				
	M_5	49 39	19.2			- 76		
	M_6	50 21	16		- 30			
	M_1'	2 51 47	16		- 7			
	M_2'	52 29	19			+ 17		
	M_3'	56 19	16.6		+ 14			
	M_4'		31	15		+ 7		
	M_5'	3 4 23	15		- 13			
	M_6'	5 6	15.6			+ 8		
	F	5 9						
26	L	8 21						Forts MSI.
	M	26 48	21.5			+ 8		F pendant le changement du papier.
29	eL	5 46						Forts MSI.
	F	6 10						
30	eL	14 5						
	F	36						

Rédigé par P. Nikiforov.

Préparé par A. Levitskaja.

Impimé par ordre de l'Académie des Sciences de l'URSS.

E. f. du Secrétaire Perpétuel I. Krackovskij.

Juillet 1926.

— Бесплатно —

Institut Physico-Mathématique de l'Académie des Sciences de l'URSS.

Bulletin mensuel
de la station sismique de 1^{ère} classe

LENINGRAD

$\varphi = 59^{\circ} 56' 27''$ N, $\lambda = 30^{\circ} 18' 19''$ E, $h = 3$ m.

Sous-sol: argile.

Instruments: Sismographes apériodiques de Galitzine avec enregistrement galvanométrique.

Date	Phases	Heures	T_p	Amplitudes			Δ	Remarques
				A_n	A_e	A_z		
		<i>h m s</i>	sec.	μ	μ	μ	kl.	
1/II	<i>iP</i>	1 29 53	5				(8920)	Onde condensée. Principale phase manque.
	<i>e₁</i>	38 37						
	<i>e₂(S)</i>	39 59						
	<i>eL</i>	54.5						
	<i>F</i>	2 18						
3	<i>iP</i>	12 14 58	5				6930	Onde condensée. Faible.
	<i>eL</i>	35.2	12					
	<i>F</i>	13 45						
4	<i>iP</i>	6 54 39	2				6930	Onde condensée. α NE. Principale phase faible.
	<i>iS</i>	7 3 4	5					
	<i>L</i>	12	14					
6	<i>M₁</i>	9 32 28	16			+ 1	6930	F pendant le changement du papier. Début pendant le changement du papier.
	<i>M₂</i>	40 58	15			+ 3		
	<i>F</i>	10 16						
7	<i>i₁</i>	3 2 33					6930	Onde condensée. Principale phase faible.
	<i>e</i>	7 50						
	<i>i₂</i>	11 20						
	<i>eL</i>	36.						
	<i>F</i>	4 20						
	<i>iP</i>	8 8 42	1;4				6930	Onde condensée. Principale phase faible.
	<i>e</i>	12 42						
	<i>L</i>	46						
	<i>F</i>	9 29						

Date	Phases	Heures	T_p	Amplitudes			Δ	Remarques	
				A_n	A_e	A_z			
		<i>h m s</i>	sec.	μ	μ	μ	kl.		
7	<i>eP</i>	22 52 53						S indistincte.	
	<i>e₁</i>	23 0 43							
	<i>e₂</i>								
	<i>eL</i>	13.3							
	<i>M₁</i>	29 20	16	- 2					
	<i>M₂</i>		23	16		+ 2			
	<i>M₃</i>		25	15			+ 2		
	<i>F</i>	55							
8	<i>P</i>	15 31 1	9				9700		
	<i>PR₁</i>	34 47							
	<i>eS</i>	41 46							
	<i>L</i>	16 3							
	<i>M₁</i>	8 22	24			+104			
	<i>M₂</i>		27	25	+125				
	<i>M₃</i>	13 23	19			- 86			
	<i>M₄</i>	14 13	19			+ 63			
	<i>M₅</i>		18	18	+ 32				
	<i>M₆</i>	18 13	17		- 37				
	<i>M₇</i>		16	16.4					- 42
	<i>M₈</i>	31 25	17			+ 19			
	<i>M₉</i>	32 21	17		+ 20				
	<i>C₁</i>	17 40 54	18						+
	<i>C₂</i>	54 21	16		-				
	<i>F</i>	19 50							
		<i>e</i>	19 53 47	2					
	<i>L</i>	20 2.5							
	<i>F</i>	27							
9	<i>e₁</i>	0 41 57							
	<i>e₂</i>	44 55							
	<i>i</i>	47 47							
	<i>L</i>	56							
	<i>F</i>	2 3							
10	<i>e₁</i>	15 13 29					Faible.		
	<i>e₂</i>	18 2							
	<i>L</i>	42.3							
	<i>F</i>	16 26							

Date	Phases	Heures	T_p	Amplitudes			Δ	Remarques
				A_n	A_e	A_z		
		<i>h m s</i>	sec.	μ	μ	μ	kl.	
26	<i>P</i>	16 13 30	1				2640	
	<i>S</i>	17 46						
	<i>L</i>	20						
	<i>M₁</i>	23 34	13			— 6		
	<i>M₂</i>	24 35	12	+ 8				
	<i>M₃</i>	38	10			— 5		F parmi forts MSI.
	<i>eL</i>	22 28						F parmi MSI.

Rédigé par P. Nikiforov.

Préparé par A. Levitskaja.

Imprimé par ordre de l'Académie des Sciences de l'URSS.

E. f. du Secrétaire Perpétuel I. Krackovskij.

Juillet 1926.

— Бесплатно —

Institut Physico-Mathématique de l'Académie des Sciences de l'URSS.

Bulletin mensuel
de la station sismique de 1^{ère} classe
LENINGRAD

$\varphi = 59^{\circ} 56' 27''$ N, $\lambda = 30^{\circ} 18' 19''$ E, $h = 3$ m.

Sous-sol: roches cristallines.

Instruments: Sismographes apériodiques de Galitzine avec enregistrement galvanométrique.

Date	Phases	Heures <i>h m s</i>	T_p sec.	Amplitudes			Δ kl.	Remarques
				A_n μ	A_e μ	A_z μ		
1/III	<i>iP</i>	20 7 0	2;4				2580	Onde condensée. $\alpha = 0^{\circ}$ S, $\varphi = 36^{\circ}$, 6 N, $\lambda = 30^{\circ}$, 3 E. Asie Mineure.
	<i>iPR₁</i>							
	<i>iS</i>	11 11						
	<i>L</i>	13						
	<i>M₁</i>	15 16	10		- 14			
	<i>M₂</i>	23	9		- 12			
	<i>M₃</i>	16 35	9		+ 11			
	<i>M₄</i>	17 32	9	+ 10				
4	<i>P</i>	9 43 57				9980	Principale phase irrégulière. F parmi forts MSI.	
	<i>i</i>	54 28						
	<i>S</i>	54						
	<i>L</i>	10 11	20					
	<i>M₁</i>	36 4	18		- 17			
8	<i>eP</i>	20 32 22	1			7320		
	<i>iP</i>	26	5					
	<i>i</i>	35 5	5					
	<i>iS</i>	41 7	7;9					
	<i>L</i>	53						
	<i>M₁</i>	21 3 11	19		+ 8			
	<i>M₂</i>	26	20		+ 8			
	<i>M₃</i>	6 26	20		- 10			
<i>F</i>	22 10							
13	<i>eL</i>	20 13.5						
	<i>M</i>	23 30	14		+ 4			
	<i>F</i>	39						

Date	Phases	Heures			T_p	Amplitudes			Δ	Remarques
						A_n	A_e	A_z		
		<i>h</i>	<i>m</i>	<i>s</i>	sec.	μ	μ	μ	kl.	
14	<i>eL</i>	9	33.5		22					F pendant l'interruption.
15	<i>eL</i>	2	19							
	M_1		28	12			+ 5			
	M_2		33	18			+ 5			
	<i>F</i>	3	18							
16	<i>eL</i>	14	52							Faible.
	<i>F</i>	15	32							
	<i>P</i>	18	0	10						S indistincte.
	<i>L</i>		39							Forts MSI.
	M_1		50	39	20			+ 9		
	M_2			39	19	+ 5				
	M_3		51	6	24		+ 7			
	<i>F</i>	20	21							
17	<i>eL</i>	5	11.5							
	M_1		16	42	15	+ 8				
	M_2		22	24	16		+ 5			
	M_3			31	14			+ 6		
	<i>F</i>		45							
	<i>eP</i>	12	6	38					10210	
	<i>e</i>		17	15						
	<i>S</i>		17	45						
	<i>L</i>		36.5							
	M_1		45	52	17		+ 13			
	M_2		52	31	17		+ 8			
	<i>F</i>	14	30							
18	<i>iP</i>	14	11	24	2; 4				2720	Onde condensée.
	<i>iS</i>			46						$\alpha = 0^\circ \text{ S,}$
	<i>i</i>			52						$\psi = 36^\circ 0' \text{ N,}$
	<i>L</i>		20							$\lambda = 30^\circ 18' \text{ E.}$
	M_1		21	20	11		+ 80			Asie Mineure.
	M_2			49	17			+ 206		$\bar{c} = 50^\circ.$
	M_3		22	2	18	+ 245				
	M_4		24	4	14			+ 110		
	M_5			7	16	- 151				
	M_6		25	5	13		+ 91			
	M_1'	17	14	9	20			+ 5		
	M_2'			33	20	+ 4				
	M_3'		17	31	20		+ 4			F dans le suivant.

Date	Phases	Heures	T_p	Amplitudes			Δ	Remarques		
				A_n	A_e	A_z				
		<i>h m s</i>	sec.	μ	μ	μ	kl.			
18	<i>iP</i>	17 58 3					2560	Onde condensée. Autres éléments pendant l'interrup- tion d'éclairage.		
	<i>eS</i>	18 2 13								
	<i>L</i>	4.3								
	<i>M₁</i>	8 20	18			+ 8				
21	<i>e(P)</i>	12 19 33					9480			
	<i>eS</i>	30 7								
	<i>eL</i>	49								
	<i>M₁</i>	13 3 45	19							
	<i>F</i>	14 20								
	<i>eP</i>	14 38 26							11130	
	<i>PR₁</i>	41 34								
	<i>eS</i>	50 12								
	<i>L</i>	15 12.2								
	<i>M₁</i>	31 39	18			+ 14				
	<i>M₂</i>	52	19							+ 26
	<i>M₃</i>	32 13	19		+ 17					
	<i>M₄</i>	33 52	18							+ 29
	<i>M₅</i>	38 16	16		+ 9					
	<i>M₆</i>	39 26	17							- 14
	<i>M₇</i>	40	15			+ 20				
	<i>M₈</i>	50 22	16		- 5					
	<i>M₉</i>	51 58	17							- 8
	<i>M₁</i>	16 56 44	14		+ 1					
	<i>M₂'</i>	57	14							+ 1
	<i>F</i>	18								
<i>P</i>	22 9 39	1.6					2600	P courtes trépidations.		
<i>eS</i>	13 52									
<i>L</i>	16.2									
<i>M₁</i>	18 50	10				+ 2				
<i>M₂</i>	53	10		+ 2						
<i>F</i>	50									
<i>iP</i>	16 31 4	2							3830	Onde condensée.
<i>i</i>	32	3								
<i>PR₁</i>	32 19									
<i>S</i>	36 41									
<i>L</i>	40.2	10								
<i>M₁</i>	43 17	7				- 2				
<i>M₂</i>	21	6		- 2						
<i>M₃</i>	40	6			+ 2					
<i>M₄</i>	47 46	8				+ 2				
<i>F</i>	17 22									

Date	Phases	Heures			T_p	Amplitudes			Δ	Remarques
		<i>h</i>	<i>m</i>	<i>s</i>		A_n	A_e	A_z		
					sec.	μ	μ	μ	kl.	
22	e_1	18	48	9						Eloigné.
	e_2		57	22						
	L	19	25							
	M_1		36	39	17	- 6				
	M_2		38	21	17			+ 4		
	M_3		43	23	17	+ 5				
	M_4		44	29	17			+ 4		
	M_5		46	12	16		+ 4			
	F	21	6							
23	P	2	3	54	2				2630	P courtes trépidations.
	eS		8	9	5					
	L		10.2		12					
	F	3								
24	P	7	9	46					(2650)	F parmi MSI. S indistincte.
	$e(S)$		14	3						
	L		16							
	eP	11	14	40						
	L		25.5							
	M_1		31	39	12	+ 5				
	M_2		33	16	11			- 6		
25	iP	13	29	20	5				(7080)	Onde condensée. Faible.
	i			35						
	$e(S)$		37	53						
	L		51							
	M_1	14	0	5	18			+ 4		
	M_2			5	16	+ 5				
	F	15	30							
	eL	18	56		12					
	F	19	9							
	eL	20	13		13					
	F	21								
27	eP	11	3	36					12420	
	PR_1		7	30						
	i		8	17	7					
	L		33		18					
	M_1		47	14	22	+42				
	M_2		53	25	20			- 24		
	M_3		57	11	17	+24				

Date	Phases	Heures			T_p	Amplitudes			Δ	Remarques
						A_n	A_e	A_z		
		<i>h</i>	<i>m</i>	<i>s</i>	sec.	μ	μ	μ	kl.	
27	M_4			26	18			- 27		
	M_5	12	2	10	19		+ 12			
	M_6		5	17	18	+ 14				
	M_7			40	18			- 16		
	M_3		16	58	16			+ 6		
	C_1		52	22	16			+		
	C_2		56	38	18			+		
	M_1'	13	17		16	+ 4				
	M_2'		31		16			+ 2		
	M_3'		20		16			+ 5		
	F	14	35							
31	P	15	11	57						S indistincte.
	L		21.3							Faible.
	F	16	30							

Rédigé par P. Nikiforov.

Préparé par A. Levitskaja.

Imprimé par ordre de l'Académie des Sciences de l'URSS.

E. f. du Secrétaire Perpétuel A. Fersman.

Septembre 1926.

— Бесплатно —

Institut Physico-Mathématique de l'Académie des Sciences de l'URSS.

Bulletin mensuel
de la station sismique de 1^{ère} classe
LENINGRAD

$\varphi = 59^{\circ}56'27''$ N; $\lambda = 30^{\circ}18'19''$ E; $h = 3$ m.

Sous-sol: argile.

Instruments: Sismographes aperiodiques de Galitzine avec enregistrement galvanométrique.

Dates	Phases	Heures	T_p	Amplitudes			Δ	Remarques
				A_n	A_e	A_z		
		<i>h m s</i>	sec.	μ	μ	μ	kl.	
1/iv	<i>P</i>	15 8 33						Faible.
	<i>L</i>	17.8						
	<i>F</i>	33						
	<i>P</i>	16 14 19				7140		
	<i>S</i>	22 55						
	<i>L</i>	32.3						
	<i>M₁</i>	48 30	12	- 6				
	<i>M₂</i>	53 3	11			- 3		
	<i>F</i>	17 36						
2	<i>P</i>	12 1 52					(2890)	
	<i>e(S)</i>	6 27						
	<i>L</i>	11						
	<i>F</i>	38						
4	<i>eL</i>	10 48						
	<i>F</i>	11 50						
5	<i>P</i>	23 37 18					4560	
	<i>S</i>	43 36						
	<i>L</i>	48.5						
	<i>M₁</i>	52 8	16	+ 4				
	<i>M₂</i>	54 8	16		+ 5			
	<i>F</i>	0 48						
6	<i>P</i>	19 43 8	1				7260	
	<i>i</i>	46 56						
	<i>eS</i>	51 50						

Dates	Phases	Heures			T_p sec.	Amplitudes			Δ kl.	Remarques
		<i>h</i>	<i>m</i>	<i>s</i>		A_n μ	A_e μ	A_z μ		
6	<i>L</i>	20	2.5							
	M_1		14	1	17	+ 10				
	M_2			4	18			+ 9		
	M_3			34	15		+ 5			
	<i>F</i>	21	30							
7	L_1	0	28		16					
	L_2		48		16					
	<i>F</i>	1	30							
	<i>eL</i>	15	32							
	<i>F</i>	16	15							
	<i>P</i>	23	9	52						S indistincte.
	<i>L</i>		35							
8	<i>F</i>	0	3							
	<i>eP</i>	10	39	11						Eloigné.
	<i>L</i>	11	13		24			+ 6		
	M_1		24	9	22					
	M_2		24	33	21	+ 7				
9	<i>F</i>		52							
	<i>L</i>	4	5.4							Préliminaires phases indistinctes.
	M_1		10	58	13	- 4				
	M_2		11	3	13			- 2		
	M_3			9	13			+ 3		
	<i>F</i>		50							
	<i>iP</i>	10	11	54					(3820)	Onde condensée.
	<i>e(S)</i>		17	21						
	<i>L</i>		25.5							
	M_1		30	4	14	+ 4				
	M_2			5	16			+ 9		
	M_3			19	15		+ 8			
	<i>F</i>	11	28							
11	<i>eL</i>	12	3.9							Faible.
	<i>F</i>	13	3							
	<i>eL</i>	21	50							
	<i>F</i>	22								
	<i>eP</i>	6	32	54					(3400)	Z inactif.
	<i>e(S)</i>		38	4						

Dates	Phases	Heures	T_p	Amplitudes			Δ	Remarques
				A_H	A_e	A_Z		
		<i>h m s</i>	sec.	μ	μ	μ	kl.	
11	<i>L</i>	6 43						
	<i>M</i>	45 22	12	- 3				
	<i>F</i>	7 20						
12	<i>F</i>	13 16						Début pendant l'interruption.
	<i>eL</i>	16 20.9						
	<i>F</i>	36						
13	<i>e</i>	8 51 13						
	<i>L</i>	9 3.5						
	<i>M</i>	8 28	18			+ 4		<i>F</i> pendant le changement du papier.
15	<i>eL</i>	10 33	20					<i>F</i> parmi MS.
16	<i>eL</i>	1 36	18					
	<i>F</i>	2 10						
19	<i>P</i>	7 53 25	1				1710	
	<i>i</i>	36						
	<i>S</i>	56 21	2					
	<i>L</i>	57						
	<i>M</i>	8 0 3	17			+ 3		
	<i>F</i>	13						
	<i>eL</i>	13 51						
	<i>F</i>	14 6						
	<i>eL</i>	16 7						
	<i>F</i>	18						
	<i>eP</i>	19 23 55						<i>eP</i> très faibles courtes trépidations.
	<i>F</i>	36						
22	<i>P</i>	7 16 54						
	<i>L</i>	25.5						
	<i>F</i>	40						
23	<i>P</i>	0 0 14					8860	
	<i>i</i>	29						
	<i>S</i>	10 17						
	<i>L</i>	28	20					
	M_1	36 51	14	+ 2				
	M_2	39 42	16			+ 3		
	<i>F</i>	1 30						

Dates	Phases	Heures	T_p	Amplitudes			Δ	Remarques
				A_H	A_e	A_Z		
		<i>h m s</i>	sec.	μ	μ	μ	kl.	
23	<i>P</i>	1 38 49					3930	
	<i>iS</i>	44 32	5					
	<i>L</i>	51.2						
	<i>M₁</i>	58 18	14			+ 2		
	<i>M₂</i>	2 3 11	14	- 2				
	<i>F</i>	25						
24	<i>i₁</i>	0 28 8					<i>i₂, i₃, i₄</i> d'après <i>Z</i> . $\alpha = 45^\circ$ NE. D'un foyer proche. Origine sismique?	
	<i>i₂</i>		40					
	<i>i₃</i>		50					
	<i>i₄</i>	31 28						
	<i>F</i>	1 51						
26	<i>L</i>	5 30						
	<i>F</i>	40						
28	<i>L</i>	18 54	17					
	<i>F</i>	19 15						
29	<i>L</i>	10 37	18					
	<i>F</i>	46						

Rédigé par P. Nikiforov.
Préparé par A. Levitskaja.

Imprimé par ordre de l'Académie des Sciences de l'URSS.

Octobre 1926

E. f. du Secrétaire Perpétuel A. Fersman.

— Б Е С П Л А Т Н О —

Institut Physico-Mathématique de l'Académie des Sciences de l'URSS.

Bulletin mensuel

de la station sismique de 1^{ère} classe

LENINGRAD

$\varphi = 59^{\circ}56'27''$ N; $\lambda = 30^{\circ}18'19''$ E; $h = 3$ m.

Sous-sol: argile.

Instruments: Sismographes apériodiques de Galitzine avec enregistrement galvanométrique.

Date	Phases	Heures	T_p	Amplitudes			Δ	Remarques
				A_n	A_e	A_z		
		<i>h m s</i>	sec.	μ	μ	μ	kl.	
2/v	<i>eP</i>	10 7 35						Faible. F pendant le changement du papier.
	<i>L</i>	19 32	10					
5	<i>e</i>	6 39 46						
	<i>F</i>	7 2						
7	<i>P</i>	6 22 50	2; 4				8050	
	<i>iS</i>	32 12						
	<i>L</i>	47.5						
	<i>M</i> ₁	7 4 24	12					
	<i>M</i> ₂	33	16	+ 9		+ 4		
	<i>M</i> ₃	33	16	+ 4				
	<i>M</i> ₄	15 13	14					
	<i>M</i> ₅	28	14			- 3		
	<i>M'</i> ₁	8 10	14			- 1		
	<i>M'</i> ₂	43	14			+ 1		
	<i>F</i>	9 36						
		<i>e</i>	11 30.5					
<i>F</i>		35						
	<i>eL</i>	22 24.5					Trace.	
	<i>F</i>	40						
							8/v détermination des constantes.	

Date	Phases	Heures	T_p	Amplitudes			Δ	Remarques
				A_n	A_e	A_z		
		<i>h m s</i>	sec.	μ	μ	μ	kl.	
10	<i>iP</i>	8 28 36	2				6030	Onde dilatée.
	<i>i₁</i>	57	2.5					
	<i>i₂</i>	29 19	2.5					
	<i>S</i>	36 14	6					
	<i>PS</i>	52	8					
	<i>L</i>	42.5	18					
	<i>M</i>	54 3	12			+ 2		
	<i>F</i>	9 53						
	<i>L</i>	20 26.5	11					
	<i>F</i>	35						
11	<i>e</i>	11 38 20						Superposition d'un nouveau tr. d. t.
	<i>L₁</i>	12 2.5	20					
	<i>P</i>	13 59	2; 4					
	<i>M_{1,1}</i>	23 29	12			+ 1		
	<i>L₂</i>	41						
	<i>M_{1,2}</i>	56 30	16			+ 2		
	<i>F</i>	13 45						
12	<i>L</i>	4 50.5	16					Faible.
	<i>F</i>	5 15						
	<i>(eP)</i>	15 5 9						
	<i>L</i>	33.3	22					
	<i>F</i>	35						
13	<i>L</i>	14 49	22					
	<i>F</i>	15 32						
14	<i>eL</i>	13 10	18					
	<i>F</i>	25						
15	<i>eL</i>	6 25	18					Trace.
	<i>F</i>	7						
16	<i>e</i>	16 57.3						
	<i>F</i>	17 14						
17	<i>e</i>	17 37 32						
	<i>L</i>	18 23	18					
	<i>F</i>	46						

Date	Phases	Heures	T_p	Amplitudes			Δ	Remarques
				A_n	A_e	A_z		
		<i>h m s</i>	sec.	μ	μ	μ	kl.	
	<i>P</i>	21 54 42						
	<i>S</i>	22 4 58	26					
	<i>L</i>	23	22			+ 4		
	<i>M</i> ₁	29 48	18		+ 4			
	<i>M</i> ₂	30 21	19	- 4				
	<i>M</i> ₃	31 21						
	<i>F</i>	50						
18	<i>eL</i>	2 6						
	<i>F</i>	18						
19	<i>e</i>	10 20 27						Très faible.
	<i>F</i>	32						
	<i>iP</i>	21 21 22	2; 3				4220	Onde dilatée.
	<i>S</i>	27 22	5					
	<i>L</i>	41.3	16					
	<i>M</i>	45 50	10			- 1		
	<i>F</i>	22 5						
20	<i>e</i>	5 41 19	2					
	<i>F</i>	56						
	<i>iP</i>	7 15 0	2; 4					Onde condensée.
	<i>L</i>	43						De 7h 20m à 7h 40m change-
	<i>M</i> ₁	52 23	22	- 40				ment du papier.
	<i>M</i> ₂	55 15	18		+ 13			
	<i>M</i> ₃	57 39	19			- 17		
	<i>M</i> ₄	58 16	18		+ 24			
	<i>M</i> ₅	8 1 30	16	+ 9				
	<i>M</i> ₆	11 22	18		+ 8			
	<i>M</i> ₇	26	16			- 2		
	<i>F</i>	9 51						
	<i>iP</i>	12 22 43	1; 2					
	<i>F</i>	30						
								21/v détermination des constan-
								tes.
23	<i>L</i>	23 32	14					
	<i>F</i>	48						

Date	Phases	Heures	T_p	Amplitudes			Δ	Remarques
				A_n	A_e	A_z		
		<i>h m s</i>	sec.	μ	μ	μ	kl.	
26	<i>e</i>	18 10 31						26/v ca 10 ^h F du tr. d. t. Début pendant le changement du papier.
	<i>L</i>	39	20					
	<i>F</i>	19 10						
	<i>e</i> ₁	19 2 55						
	<i>i</i>	3 17	1; 3					
	<i>e</i> ₂	15 21						
	<i>L</i>	49	20					
	<i>iP</i>	19 55 39	2; 4				7170	
	<i>i</i>	55	2; 3.8					
	<i>S</i>	4 17						
	<i>L</i>	19.2	20					
	<i>M</i> ₁	25 25	19		+ 7			
	<i>M</i> ₂	27 51	14			+ 2		
	<i>M</i> ₃	20 2 5	10			+ 1		
<i>F</i>	22 10							
27	<i>L</i>	13 26	20					
	<i>F</i>	14 6						
28	<i>L</i>	1 5	18					
	<i>F</i>	22						
	<i>iP</i>	22 36 49	1; 1.5				2720	
	<i>i</i>	37 3	2; 3					
	<i>S</i>	41 11	4					
	<i>L</i>	43.3						
29	<i>F</i>	23 3						
	<i>L</i>	6 44.5	12					
	<i>M</i> ₁	50 53	8			+ 2		
	<i>M</i> ₂	55 22	10		+ 1			
	<i>M</i> ₃	57 21	10			+ 2		
	<i>F</i>	7 27						
	<i>P</i>	16 38 36		1.5				
	<i>e</i>	43 27						
	<i>L</i>	44.5						
	<i>F</i>	17						
<i>eL</i>	21 25							
<i>M</i> ₁	46 47	16	+ 3					

S indistincte.

Date	Phases	Heures	T_p	Amplitudes			Δ	Remarques
				A_n	A_e	A_z		
		<i>h m s</i>	sec.	μ	μ	μ	kl.	
29	M_2	21 53 43	16		- 2			Superposition d'un nouveau tr. d. t. S indistincte. F parmi MS II.
	iP	22 48 10						
	L	23 14	20					
30	L	11 45	16					
	F	12 7						
31	iP	13 49 19					10480	Forts MS II.
	PR_2	55 19						
	S	14 0 38						
	PPS	2 4						
	L	23.5						
	M_1	33 38	18			- 4		
	M_2	38 30	18			+ 5		
	M_3	34	18		+ 4			
	M_1	39	16	+ 3				
	M'_1	16 9 39				+ 2		
	M'_2	28 13				+ 1		
	t	ca 17						

Rédigé par P. Nikiforov.
Préparé par A. Levitskaja.

Imprimé par ordre de l'Académie des Sciences de l'URSS.

Décembre 1926.

Le Secrétaire Perpétuel S. d'Oldenburg.

— БЕСПЛАТНО —

Издательство Академии Наук СССР. Ленинградский Гублит № 33439. 80 печ. л. — Тираж 350 экз.
Типография Издательства Сев.-Зап. Промбюро ВСНХ. Ленинград, Тучковз наб., 2.

Institut Physico-Mathématique de l'Académie des Sciences de l'URSS.

Bulletin mensuel

de la station sismique de 1^{ère} classe

LENINGRAD

$\varphi = 59^{\circ}56'27''$ N; $\lambda = 30^{\circ}18'19''$ E; $h = 3$ m.

Sous-sol: argile.

Instruments: Sismographes apériodiques de Galitzine avec enregistrement galvanométrique.

Date	Phases	Heures	T_p	Amplitudes			Δ	Remarques
				A_n	A_e	A_z		
		<i>h m s</i>	sec.	μ	μ	μ	km.	
1/vi	<i>L</i>	19 6.8	24					
	<i>M</i>	15 18	18		+ 2			
	<i>F</i>	48						
2	<i>L</i>	23 16.5	20					
	<i>F</i>	0 40						
3	<i>PR</i> ₁	5 7 47					Ca 14000	Z inactif.
	<i>PR</i> ₂	10 47						
	$\overline{S_4 P_4 P_4 S}$	14 17						
	<i>L</i>	42						
	<i>M</i> ₁	55 50	15	- 4				
	<i>M</i> ₂	58	15		- 3			
	<i>M</i> ₃	6 5 45	18		+ 3			
	<i>M</i> ₄	58	16	+ 4				
	<i>F</i>	7 5						
4	<i>e</i> ₁	0 27 30						
	<i>e</i> ₂	29 44						
	<i>L</i>	41.2						
	<i>M</i> ₁	47 43	16	+ 2				
	<i>M</i> ₂	50 28	18			- 3		<i>F</i> pendant le changement du papier.
	<i>M</i> ₃	54 25	15	+ 3				
	<i>S</i>	7 6 18						Interruption d'éclairage sur Z.
	<i>L</i>	10						Autres éléments pendant le changement du papier.

Date	Phases	Heures	T_p	Amplitudes			Δ	Remarques		
				A_n	A_e	A_z				
		<i>h m s</i>	sec.	μ	μ	μ	km.			
4	<i>P</i>	15 17 57					7050			
	<i>S</i>	26 29								
	<i>L</i>	44								
	M_1	48 12	22	+ 3						
	M_2	15	22		+ 6					
	<i>F</i>	16 23								
5	<i>P</i>	9 20 25	2				7270			
	<i>iS</i>	29 8	5							
	<i>eL</i>	40.5								
	M_1	55 54	12	+ 1						
	M_2	58 23	16		+ 4					
	<i>F</i>	10 25								
	<i>P</i>	20 2 18							8370	
	<i>iS</i>	11 56	6; 10							
	SR_1	16 2								
	<i>iL</i>	26	32							
	M_1	35 13	18		+ 3					
M_2	23	19	+ 9							
M_3	38 46	15	+ 5							
M_4	41 12	15		- 2						
<i>F</i>	21 54									
6	<i>P</i>	6 57 34						<i>F</i> pendant le changement du papier.		
	<i>iL</i>	7 12								
	<i>M</i>	16 37	13	- 2						
	<i>L</i>	18 55								
	M_1	19 1 47	17	+ 2						
	M_2	47	18		+ 3					
	<i>F</i>	20								
8	<i>eL</i>	2 49					Trace.			
	<i>F</i>	3 43								
10	<i>P</i>	19 21 6	2; 3				(2400)			
	<i>i(S)</i>	25 5								
	<i>L</i>	26.3								
	M_1	28 26	7		+ 2					
	M_2	30 32	8	+ 1						

Date	Phases	Heures	T_p	Amplitudes			Δ	Remarques
				A_n	A_e	A_z		
		<i>h m s</i>	sec.	μ	μ	μ	km.	
19	<i>L</i>	0 12						
	<i>F</i>	54						
	<i>L</i>	1 11.5	20					
	<i>F</i>	2 5						
	<i>L</i>	12 18.7	16					
	<i>F</i>	13 40						
20	PR_1	7 14 52					Ca 14000	
	S_4P_4S	20 2						
	$\overline{S_4P_4} \overline{P_4S}$	21 40						
	<i>PS</i>	24 52						
	SR_1	31 56						
	<i>L</i>	50	36					
	M_1	8 1 29	17			+ 12		
	M_2	4 12	18	+ 11				
	M'	9 23 16	16			+ 2		
	<i>F</i>	11 20						
21	<i>L</i>	9 29.3						
	M_1	40 1	14		+ 2			Début pendant le changement du papier.
	M_2	16	13			- 2		
	M_3	41 17	16	+ 2				
	<i>F</i>	10 40						
22	<i>e</i>	23 33 51						
	<i>L</i>	37.5						
	<i>M</i>	43 0	8		- 1			
23	<i>F</i>	0 10						
24	<i>e</i>	21 30 28						
	<i>i</i>	34 19						
	<i>L</i>	22 5						
	<i>F</i>	45						
25	<i>e</i>	2 24 49						
	<i>L</i>	33.5						<i>F</i> pendant le changement du papier.
	<i>L</i>	21 21 5						
	<i>M</i>	32 9	16			+ 2		
	X							

Date	Phases	Heures	T_p	Amplitudes			Δ	Remarques		
				A_n	A_e	A_z				
		<i>h m s</i>	sec.	μ	μ	μ	km.			
25	<i>P</i>	23 23 39					2210			
	<i>S</i>	27 20								
	<i>L</i>	28.5								
	<i>M</i>	33 48	6	+ 1						
26	<i>F</i>	0 0								
	<i>eL</i>	2 23					Trace.			
	<i>F</i>	52								
	<i>P</i>	19 51 40	2; 3; 4				2600	Onde condensée. $\alpha = 8^\circ$ SW; $\varphi = 36^\circ 22'$ N; $\lambda = 26^\circ 19'$ E. Archipel de la Grèce.		
	<i>iP</i>	42								
	<i>S</i>	55 53								
	<i>L</i>	57.1								
	<i>M₁</i>	20 1 55	12			+122				
	<i>M₂</i>	5 42	11		- 50					
	<i>M₃</i>	7 12	13	+ 68						
	<i>M₄</i>	8 43	11			+ 60				
	<i>M₅</i>	11 55	12		- 45					
	<i>M₆</i>	13 37	13	+ 57						
	<i>M₁'</i>	23 31 36	16	+ 1						
	<i>M₂'</i>	34 52	18		+ 1					
	<i>M₃'</i>	35 12	16			+ 1				
27	<i>F</i>	0 43								
	<i>P</i>	2 18 34							2640	
	<i>S</i>	22 50								
	<i>L</i>	26								
	<i>M₁</i>	27 56	9		- 1					
	<i>M₂</i>	58	11	+ 1						
	<i>M₃</i>	28 0	11			+ 1				
	<i>F</i>	48								
	<i>P'</i>	18 21 32								
	<i>PR₁</i>	24 16								
<i>L</i>	19 11.5									
	<i>M</i>	29 46	16			+ 1				
	<i>F</i>	20 53								
28	<i>eP</i>	3 35 39					8900	N — S inactif.		
	<i>iP</i>	40	3							
	<i>iPR₁</i>	39 4	2; 4							

Date	Phases	Heures			T_p	Amplitudes			Δ	Remarques
		<i>h</i>	<i>m</i>	<i>s</i>		A_n	A_e	A_z		
					sec.	μ	μ	μ	km.	
28	PR_2	3	41	13						
	iS		45	44	8					
	PS		46	30						
	iL	4	2		34					
	M_1		23	11	16			+ 10		
	M_2			15	17		+ 11			
	M_3		28	32	15			+ 8		
	M_4		29	16	16		+ 9			
	M_5		38	47	15			+ 7		
	M_6		39	28	15		+ 6			
	C_1	5	37	26	18			+		
	C_2			50	18		+			
	M_1'	6	14	54	18			+ 3		<i>F</i> dans le suivant.
	M_2'		17	40	18		+ 3			
	iP	6	27	56	1.2; 4				8880	Réplique du précédent.
	iS		37	60						
	L		55.5							
	M_1	7	9	44	15			+ 10		
	M_2			49	15		+ 8			
	M_3		15	21	16		- 7			<i>F</i> pendant le changement du papier.
	M_4		16	16	15			+ 6		
	L	12	34.2							
	F	13	40							
L	21	22							Trace.	
F		37								
eL	22	5							Faible.	
F		29								
29	P	2	33	18						
	L		53							<i>F</i> parmi MS II.
	iP	14	38	5	7				7650	Onde condensée.
	iPR_1		40	53	7					
	PR_2		42	23	8					
	iPR_3			59						
	iS		47	$\bar{4}$						
	SR_1		52	7						
	SR_2		55	11						
	L	15	3							

Date	Phases	Heures	T_p	Amplitudes			Δ	Remarques	
				A_n	A_e	A_z			
		<i>h m s</i>	sec.	μ	μ	μ	km.		
29	M_1	15 11 58	12			— 23			
	M_2	12 47	16	+ 30					
	M_3	18 37	14	+ 22					
	M_4	46	10			— 13			
	C_1	16 14 44	13			+			
	C_2	20 15	13	—					
	M_1'	17 14 57	16	+ 1					
	M_2'	22 36	16			+ 1			
	F	18							
	L	19 43.5							
	F	20 14							
	30	L	23 55.3						Trace.
		F	0 22						
L		6 20							
F		7 20							
P		12 2 9					9280		
iS		12 33							
L		27							
M_1		32 58	10	+ 2					
M_2		33 3	10			+ 3			
M_3		35 48	12		+ 2				
M_4		37 13	10			+ 2		F parmi MS II.	
P		22 58 29					3550		
S		23 3 49							
e		4 57							
L		7							
M_1		13 2	10			+ 3			
M_2		2	10	+ 3					
M_3		41	9		— 3				
M_4		15 49	10		+ 2				
M_5		17 11	9			+ 3			
F	0 20								

Rédigé par P. Nikiforov.
Préparé par A. Levitskaja.

Imprimé par ordre de l'Académie des Sciences de l'URSS.

Décembre 1926.

Le Secrétaire Perpétuel S. d'Oldenburg.

— Б Е С П Л А Т Н О —

Institut Physico-Mathématique de l'Académie des Sciences de l'URSS.

Bulletin mensuel

de la station sismique de 1^{ère} classe

LENINGRAD

$\varphi = 59^{\circ}56'27''$ N; $\lambda = 30^{\circ}18'19''$ E; $h = 3$ m.

Sous-sol: argile.

Instruments: Sismographes apériodiques de Galitzine avec enregistrement galvanométrique.

Date	Phases	Heures	T_p	Amplitudes			Δ	Remarques
				A_n	A_e	A_z		
		<i>h m s</i>	sec.	μ	μ	μ	km.	
1/vii	<i>eL</i>	4 53						Faible.
	<i>F</i>	5 20						
	<i>P</i>	14 21 17	2; 2,5				9280	
	<i>i</i>		27	2				
	<i>PR₁</i>	24 40	6					
	<i>PR₂</i>	26 57	6					
	<i>S</i>	31 41	6; 7					
	<i>L</i>	45.5	30					
	<i>M₁</i>	15 2 13	21	+ 33				
	<i>M₂</i>		52	19			+ 31	
	<i>M₃</i>		52	17		+ 25		
	<i>M₄</i>	8 51	19		+ 18			
	<i>M₅</i>		55	15			- 14	
	<i>M₆</i>	17 53	16	+ 10				
	<i>M₇</i>	18 10	16				+ 10	
	<i>M₈</i>		23	15		+ 9		
	<i>C₁</i>	35 27	22				+	
	<i>C₂</i>		42	19			+	
	<i>M₁'</i>	17 6 42	18				- 1	
	<i>M₂'</i>		57	18		- 1		
<i>M₃'</i>		7 1	16	+ 1				
<i>F</i>	18 24							
<i>L</i>	20 24		20					
<i>F</i>	21							

Date	Phases	Heures			T_p	Amplitudes			Δ	Remarques
						A_n	A_e	A_z		
		<i>h</i>	<i>m</i>	<i>s</i>	sec.	μ	μ	μ	km.	
1	<i>e</i> (PR_1)	20	48	13					Ca 12000	
	<i>e</i>		54	32						
	<i>e</i> (SR_1)	21	3	19						
	<i>L</i>		18							
	M_1		39	52	16			+ 2		
	M_2		41	13	16		+ 1			
	M_3		42	47	16	- 1				
	<i>F</i>	23	29							
2	<i>P</i>	5	30	35	2				2400	
	<i>eS</i>		34	32						
	<i>L</i>		36.6							
	M_1		39	38	9			+ 0.4		
	M_2			40	9	+ 0.4				
	<i>F</i>	6	15							
	<i>eL</i>	7	22							
	<i>F</i>	8	44							
	<i>eL</i>	13	27.5							
	<i>F</i>	14	39							
3	<i>iP</i>	4	0	8					10000	
	$\overline{S_4P_4S}$		10	36						
	<i>S</i>		11	8						
	<i>e</i>		12	17						
	<i>L</i>		36		25					
	<i>M</i>		46	25	22			+ 2		
	<i>F</i>	5	25							
	<i>eL</i>	19	29		16					
	<i>F</i>		57							
	4	<i>eL</i>	1	18						
<i>F</i>		2								
5	<i>e</i> (<i>P</i>)	9	25	52					(3220)	
	<i>e</i>		26	53						
	<i>eS</i>		30	50						
	<i>L</i>		31.9							
	<i>F</i>	10	12							

Date	Phases	Heures	T_p	Amplitudes			Δ	Remarques
				A_n	A_e	A_z		
		<i>h m s</i>	sec.	μ	μ	μ	km.	
6	<i>iL</i>	0 24	20					
	<i>F</i>	37						
	<i>e</i>	1 54 42	18					Très faible.
	<i>L</i>	2 9.4						
	<i>F</i>	26						
	<i>L</i>	10 47						Trace.
	<i>F</i>	11 9						
	<i>eP</i>	16 35 5						S indistincte.
	<i>L</i>	44						
	<i>M₁</i>	48 55		8			- 1	
	<i>M₂</i>	49 4	9	+ 2				
	<i>M₃</i>	50	8		+ 2			
	<i>F</i>	17 28						
	<i>iP</i>	21 31 26					7380	
<i>iS</i>	40 14	4						
<i>L</i>	55	18						
<i>F</i>	22 20							
7	<i>eL</i>	3 34						Trace.
	<i>F</i>	52						
	<i>eL</i>	12 37	20					
	<i>F</i>	13 5						
8	<i>P</i>	15 4 16	9				2440	
	<i>eS</i>	8 18						
	<i>L</i>	9.9						
	<i>M</i>	13 27				+ 1		
	<i>F</i>	16 7						
9	<i>eP</i>	15 13 43	16					
	<i>L</i>	26.6						
	<i>M</i>	31 6				+ 2		
	<i>F</i>	58						
10	<i>eL</i>	2 7	20					
	<i>M</i>	16 10				+ 2		
	<i>F</i>	3						

Date	Phases	Heures	T_p	Amplitudes			Δ	Remarques		
				A_n	A_e	A_z				
		<i>h m s</i>	sec.	μ	μ	μ	km.			
10	<i>eP</i>	11 4 20	2				10160			
	<i>iPR₁</i>	8 21								
	<i>ePR₂</i>	10 37								
	<i>i</i>	14 53								
	<i>iS</i>	15 25	9							
	<i>SR₁</i>	21.5								
	<i>L</i>	34.5	26							
	<i>M₁</i>	40 16	18	- 11						
	<i>M₂</i>	47 11	23			+ 31				
	<i>M₃</i>	15	21		- 23					
	<i>M₄</i>	51 36	18	- 8						
	<i>M₅</i>	56	20		- 15					
	<i>C₁</i>	12 13 31	16	+						
	<i>C₂</i>	53	15			-				
	<i>C₃</i>	14 7	16		+					
	<i>M₁'</i>	13 22 23	20			+ 2		<i>F</i> dans le suivant.		
	<i>M₂'</i>	23 2	15	+ 1						
	<i>e</i>	13 4 42								
	<i>L</i>	25	18							
	<i>M₁</i>	40 42	18			+ 3				
<i>M₂</i>	41 28	16	+ 4							
<i>F</i>	14 31									
11	<i>eP</i>	23 12 31	1.8				7410			
	<i>eS</i>	21 21	3							
	<i>L</i>	35.5	18							
	<i>F</i>	0 14								
	<i>eL</i>	11 9.5								
	<i>F</i>	30								
	<i>eL</i>	15 49								
	<i>F</i>	16								
	12	<i>eL</i>	17 45.5	22						
		<i>F</i>	18 21							
<i>e</i>		22 22 56								
<i>L</i>		43.6	22							
<i>M₁</i>		52 2	19		+ 3					

Date	Phases	Heures			T_p	Amplitudes			Δ	Remarques
		<i>h</i>	<i>m</i>	<i>s</i>		A_n	A_e	A_z		
					sec.	μ	μ	μ	km.	
12	M_2	22	52	48	17			+ 4		
	M_3		53	1	16	+ 2				
	F	23	40							
13	L	0	34							
	F	1	15							
	eL	12	5.5		17					
	F		17							
	eL	14	39.5		18					
	F	15	8							
14	e	17	4	16						
	L		37.5		22					
	F	18	26							
	eP	22	31	48					5870	
	eS		39	17						
	L		46.6		25					
	M_1		55	45	17			+ 2		
	M_2			53	16	+ 1				
	M_3	23	0	50	17		+ 2			
	F	Ca 0								
15	L	18	50.5							
	M		54	56	16			+ 1		
	F	19	13							
	e	21	58	40						
	L	22	23		24					
	F	23	30							
16	$e(P)$	2	18	50					Ca 12500	
	PR_1		23	49						
	PPS		33	4	6; 8					
	iL		47							
	M_1	3	12	30	18			+16		
	M_2			39	20	+ 7				
	M_3			52	18		- 11			
	F	4	40							

Date	Phases	Heures	T_p	Amplitudes			Δ	Remarques		
				A_n	A_e	A_z				
		<i>h m s</i>	sec.	μ	μ	μ	km.			
17	<i>eL</i>	16 24 3						Trace.		
	<i>F</i>	17 5								
	<i>L</i>	19 38	16							
	<i>M₁</i>	42 47	9	+ 1						
	<i>M₂</i>	59	9		+ 1					
	<i>M₃</i>	44 5	9			+ 2				
	<i>F</i>	20 11								
18	<i>L</i>	4 6.8	20					Trace.		
	<i>F</i>	5 18								
	<i>eP</i>	19 45 13								
	<i>e</i>	48 46								
	<i>L</i>	20 7.8								
	<i>F</i>	58								
	<i>L</i>	21 47.6	18							
	<i>F</i>	22 10								
	21	<i>e</i>	2 18 34	6						
		<i>L</i>	53.6							
<i>M₁</i>		3 4 43	19	+ 1						
<i>M₂</i>		48	18			+ 5				
<i>M₃</i>		6 46	18			+ 5				
<i>F</i>		4 11								
22	<i>iP</i>	4 2 4	1; 3					Onde dilatée.		
	<i>F</i>	30								
	<i>ePR₁</i>	23 11 18					Ca 10000			
	<i>e</i>	13 15								
	<i>iS</i>	18 22								
	<i>L</i>	41	24							
	<i>M₁</i>	51 20	19	+ 2						
	<i>M₂</i>	41	19		- 2					
	<i>M₃</i>	56	19			+ 3				
	<i>F</i>	1 14								
	23	<i>iP</i>	5 29 37	3					9520	Onde condensée.
<i>PR₁</i>		33 11	3; 5							

Date	Phases	Heures			T_p	Amplitudes			Δ	Remarques
		<i>h</i>	<i>m</i>	<i>s</i>		A_n	A_e	A_z		
					sec.	μ	μ	μ	km.	
23	<i>iS</i>	5	40	13						
	<i>SR₂</i>		50	10						
	<i>L</i>		55							
	<i>M</i>	6	9	49	20	+ 3				<i>F</i> indistincte.
	<i>L</i>	12	36	4	20					
	<i>M</i>		42	27	18			+ 2		
	<i>F</i>	13	5							
	<i>e</i>	5	12	32						
	<i>eL</i>	6	3							
	<i>M</i>		48	24	16			+ 1		
<i>F</i>	7	12								
25	<i>eL</i>	11	53							Trace.
	<i>F</i>	12	16							
26	<i>e</i>	2	23	56						
	<i>L</i>		28.9		13					
	<i>F</i>		47							
	<i>eP</i>	19	5	8					6890	<i>iS</i> très nette.
	<i>iS</i>		13	31	5					
	<i>i</i>		14	24	5.6					
	<i>iSR</i>		17	56	5.6					
	<i>iL</i>		20							
<i>M</i>		38	30	15			+ 3		<i>F</i> indistincte.	
27	<i>L</i>	5	8.6		14					
	<i>F</i>		30							
	<i>P</i>	7	32	4	4				4960	Onde condensée.
	<i>iS</i>		38	44						
	<i>iL</i>		42.1							
	<i>M₁</i>		51	19	12	+ 1				
	<i>M₂</i>			53	12		+ 2			
	<i>M₃</i>		52	37	12			+ 3		
	<i>F</i>	9	54							
	28	<i>e₁</i>	9	11	50	7				
<i>e₂</i>			19	46						
<i>e₃</i>			27.6							
<i>L</i>			47.6							

Date	Phases	Heures			T_p	Amplitudes			Δ	Remarques
		<i>h</i>	<i>m</i>	<i>s</i>		A_n	A_e	A_z		
					sec.	μ	μ	μ	km.	
28	M_1	10	4	1	18		+ 9			
	M_2			30	18			+ 11		
	M_3			49	18	- 8				
	M_1'	11	17	30	16			+ 0.4		
	M_2'		21	59	16		+ 1			
	M_3'		22	10	16	+ 1				
	F	12	46							
29	eL	1	9.5		25					Trace.
	F		35							
	eL	13	29							
	F	14	2							
30	eL	13	28.5							
	F		48							
	eL	21	57							
	F	22	22							
31	eL	1	28							
	F		48							
	P	11	47	6						P courtes trépidations.
	eL	12	11.5							
	F	13	30							
	P	18	18	36						
	L		29							
	M_1		35	31	17	+ 6				
	M_2		38	40	13			+ 6		
	M_3			43	13		- 5			
F	19	48								

Rédigé par *P. Nikiforov.*Préparé par *A. Levitskaja.*

Imprimé par ordre de l'Académie des Sciences de l'URSS.

Décembre 1926.

Le Secrétaire Perpétuel *S. d'Oldenburg.*

— БЕСПЛАТНО —

Institut Physico-Mathématique V. Steklov de l'Académie des Sciences de l'URSS.

Bulletin mensuel
de la station sismique de 1^{ère} classe

LENINGRAD

$\varphi = 59^{\circ}56'27''$ N; $\lambda = 30^{\circ}18'19''$ E; $h = 3$ m.

Sous-sol: argile.

Instruments: Sismographes aperiodiques de Galitzine avec enregistrement galvanométrique.

Date	Phases	Heures	T_p	Amplitudes			Δ	Remarques
				A_n	A_e	A_z		
		<i>h m s</i>	sec.	μ	μ	μ	km.	
2/viii	<i>P</i>	5 13 44					8910	Onde condensée. P sur N-S très faible.
	<i>PR₁</i>	17 2						
	<i>PR₂</i>	19 20						
	<i>PR₃</i>	20 10						
	<i>iS</i>	23 50						
	<i>SR₂</i>	32.5						
	<i>iSR₃</i>	35.7						
	<i>L</i>	39.4						
	<i>M₁</i>	47 15	19	- 50				
	<i>M₂</i>	49 46	18		- 39			
	<i>M₃</i>	49	19			+ 36		
	<i>M₄</i>	51 19	17	- 28				
	<i>M₅</i>	53 4	17			- 39		
	<i>M₆</i>	56	16		- 23			
	<i>M₇</i>	6 2 22	14			+ 10		
	<i>M₈</i>	4 6	16		+ 12			
	<i>C₁</i>	41 51	13	+				
	<i>C₂</i>	43 10	12			-		
	<i>C₃</i>	10	13			+		
	<i>M₁'</i>	7 36 54	14	+ 1				
<i>M₂'</i>	43 2	13		+ 1				
<i>M₃'</i>	25	16			+ 1			
<i>iP</i>	12 53 26	3				8840	Onde condensée.	
<i>S</i>	13 3 28	8						
<i>L</i>	24.5							

F pendant le changement des feuilles.

Date	Phases	Heures	T_p	Amplitudes			Δ	Remarques
				A_n	A_e	A_z		
		<i>h m s</i>	sec.	μ	μ	μ	km.	
2	M_1	13 32 9	17		+ 2			
	M_2		16			+ 3		
	M_3		15	+ 2				
	F	16 4						
	eL	18 30						Trace.
	F	19 6						
3	eP	3 35 21						
	e_1	38 22						
	e_2	39 10						
	iP	53 2					8050	Onde condensée.
	PR_2	57 22						$\alpha = 72^\circ 57' \text{ NE};$ $\varphi = 22^\circ 42' \text{ N};$ $\lambda = 125^\circ 57' \text{ E}.$
	iS	4 2 24	7					Riou Kiou.
	PS	3 12	9					$\bar{e} = 64^\circ 59'.$
	SR_2	10 42						
	L	16.5						
	M_1	21 46	20	+ 83				
	M_2	23 50	16	- 38				
	M_3	28 9	13	- 14				
	M_4	39	13		- 28			
	M_5	40	13			+ 27		
	M_6	35 35	13			+ 15		
	F	7 19						
	iP	9 37 12	4				7600	Onde condensée.
	iS	46 12						
	L	57.5	16 - 20					
	M_1	10 11 58	12			+ 1		
	M_2	59	13		- 1			
	M_3	12 23	12	- 1				F dans le suivant.
	eP	10 45 32					10410	
	iPR_1	49 26						
	$iS_4 P_4 P_4 S$	56 6						
	eS	48						
L	11 16							
M_1	35 58	14			+ 3			
M_2	38 50	18		+ 6				
M_3	39 7	17	- 5				F dans le suivant.	

Date	Phases	Heures	T_p	Amplitudes			Δ	Remarques
				A_n	A_e	A_z		
		<i>h m s</i>	sec.	μ	μ	μ	km.	
3	<i>L</i>	12 47.6	20				8600	
	<i>F</i>	15						
	<i>iP</i>	19 53 20						
	<i>S</i>	20 3 10						
	<i>L</i>	23.5						
	<i>M₁</i>	36 37	15		+ 1			
	<i>M₂</i>	38 6	14	+ 1				
	<i>M₃</i>	20	15			+ 1		
<i>F</i>	21 50							
4	<i>eL</i>	20 6.2						
	<i>F</i>	14						
	<i>eL</i>	20 37	13					
	<i>F</i>	45						
5	<i>eL</i>	6 30	11					
	<i>F</i>	7 10						
	<i>eL</i>	9 31						
	<i>F</i>	10						
	<i>eL</i>	10 57	12					
	<i>F</i>	11 33						
	<i>eL</i>	11 52	11				<i>F</i> dans le suivant.	
	<i>eL</i>	13 25.5	15					
	<i>F</i>	14						
	<i>eL</i>	16 20.5	16					
	<i>F</i>	17 10						
	<i>L</i>	17 19.7	15					
<i>F</i>	47							
<i>L</i>	18 23.4	13				Très faible.		
<i>F</i>	40							
<i>L</i>	19 24.5	15						
<i>F</i>	50							

Date	Phases	Heures			T_p	Amplitudes			Δ	Remarques
						A_n	A_e	A_z		
		<i>h</i>	<i>m</i>	<i>s</i>	sec.	μ	μ	μ	km.	
5	<i>eL</i>	20	51.5							Faible.
	<i>F</i>	21	8							
	<i>eL</i>	23	27.5							
	<i>F</i>		38							
6	<i>L</i>	0	31							
	M_1		37	19	15	+ 1				
	M_2			53	15			- 2		
	M_3			57	15		- 1			
	<i>F</i>	1	5							
	<i>eL</i>	2	4.1		14					Faible.
	<i>F</i>		19							
	<i>eL</i>	3	48							
	M_1		50	46	15	+ 1				
	M_2		51	49	15			+ 1		
	<i>F</i>	4	32							
	<i>L</i>	4	39		13					Superposition des L.
	<i>eL</i>	4	54							
	<i>L</i>	5	12							
	M_1		17	53	15		+ 3			
	M_2			57	15			- 4		
	M_3		18	15	16	- 2				<i>F</i> dans le suivant.
	<i>iP</i>	5	29	52	2.4; 5				3160	Onde condensée.
	<i>iS</i>		34	46						
	<i>L</i>		37							
M_1		39	52	11	+ 5					
M_2		44	37	12			- 8			
M_3		46	51	13		- 5				
M_4		48	30	10	+ 5					
M_5		52	40	9			+ 3		<i>F</i> dans le suivant.	
<i>e</i>	6	23	48							
<i>L</i>		28.6								
M_1		46	13	15	- 5				Faible tr. d. t.	

Date	Phases	Heures			T_p	Amplitudes			Δ	Remarques
		<i>h</i>	<i>m</i>	<i>s</i>		A_n	A_e	A_z		
					sec.	μ	μ	μ	km.	
6	M_2	6	46	51	15		- 9			<i>F</i> dans le suivant.
	M_3			53	12			+ 8		
	<i>L</i>	7	36.5		16					
	M_1		41	29	18	+ 6				
	M_2		47	49	13		- 7			
	M_3			52	14			- 7		
	<i>F</i>	8	54							
	<i>L</i>	9	37.5							
	M_1		41	10	15	- 1				
	M_2			20	15		+ 2			
	M_3		42	16	15			- 1		
	<i>F</i>	10	4							
	<i>L</i>	10	32.5		15					
	<i>F</i>	11								
	<i>eL</i>	11	26.5		15				<i>F</i> indistincte.	
	<i>L</i>	11	44.2		16					
	<i>M</i>		47	1	12			+ 1		
	<i>F</i>		53							
	<i>eL</i>	12	14							
	<i>M</i>		16	33	15			+ 1	<i>F</i> dans le suivant.	
	<i>L</i>	12	44.5		16					
	M_1		47	52	16	+ 2				
	M_2		51	44	15		+ 5			
	M_3			47	15			- 6		
<i>F</i>	13	40								
<i>L</i>	13	52.2								
M_1		56	21	16			+ 2			
M_2			26	15	+ 1					
<i>F</i>	14	30								
<i>eL</i>	14	32.6								
<i>M</i>		34	20	11			+ 1			

Date	Phases	Heures	T_p	Amplitudes			Δ	Remarques
				A_n	A_e	A_z		
		<i>h m s</i>	sec.	μ	μ	μ	km.	
6	<i>L</i>	15 14.5						
	<i>F</i>	23						
	<i>P</i>	16 3 28						S indistincte.
	<i>L</i>	30.4						
	M_1	37 26	12	+ 6				
	M_2	39 29	13		+14			
	M_3	37	13			-14		
	$M_{1,1}$	17 27 27	15			- 3		
	$M_{1,2}$	28 5	13	- 1				
	$M_{1,3}$	24	13		- 3			
	<i>F</i>	18 7						
	<i>L</i>	20 35.3						<i>F</i> dans le suivant.
	e_1	20 50 10						
	e_2	52 56						
	<i>L</i>	56.5						
	M_1	21 2 3	10			+ 2		
	M_2	4	10		+ 1			
	M_3	11	10	+ 1				
	<i>F</i>	45						
	<i>L</i>	22 4.5						
	M_1	11 48	15		- 2			
	M_2	12 1	14			+ 2		
	<i>F</i>	32						
<i>L</i>	22 50.5	16					Superposition.	
<i>iP</i>	22 53 28	1; 2; 3				4220	Onde condensée.	
<i>iPR₁</i>	55 2						$\alpha = 78^\circ 27' \text{SE};$	
<i>iS</i>	59 28	6					$\varphi = 38^\circ 22' \text{N};$	
<i>iSR₁</i>	23 2 1	7; 10					$\lambda = 80^\circ 30' \text{E}.$	
<i>iSR₃</i>	38	7					Turkestan.	
<i>L</i>	4.9						$\bar{e} = 47^\circ 43'.$	
M_1	8 38	12	+21				<i>F</i> dans le suivant.	
M_2	11 3	12		-37				
7	<i>e</i>	0 27 34						
	<i>eL</i>	47.4						

Date	Phases	Heures			T_p	Amplitudes			Δ	Remarques	
		<i>h</i>	<i>m</i>	<i>s</i>		A_n	A_e	A_z			
					sec.	μ	μ	μ	km.		
7	M_1	1	5	42	16	+ 1				<i>F</i> dans le suivant.	
	M_2		8	1	14			+ 1			
	<i>eP</i>	2	20	44							
	<i>L</i>		43								
	M_1		55	20	15	+ 5					
	M_2			23	14				- 9		
	M_3			26	15		- 7				
	<i>F</i>	4	30								
	<i>L</i>	5	35.5		16						
	<i>F</i>		54								
	<i>eL</i>	6	13.5		16						Faible. <i>F</i> dans le suivant.
	<i>P</i>	6	25	50					(7750)		
	<i>e(S)</i>		34	57							
	<i>L</i>		39.5								
	M_1		41	2	13				+ 1		
	M_2			12	13			+ 1			
	L_1		52.7								
	$M_{1,1}$		55	21	16	+ 1					
	$M_{1,2}$		59	11	15				+ 1		
	<i>F</i>	8	12								
	<i>L</i>	9	47.5								
	M_1		50	16	15	- 1					
	M_2		53	42	13				- 1		
	M_3			43	14			- 1			
	<i>F</i>	11	4								
	<i>eL</i>	11	44.0								
	M_1		49	2	15				- 2		
	M_2		50	3	15			+ 1			<i>F</i> dans le suivant.
<i>eL</i>	12	13									
M_1		18	42	14			- 1				
M_2		19	52	13				+ 1			
M_3		20	57	13	+ 1						
M_4		26	2	14				- 2			

Date	Phases	Heures			T_p	Amplitudes			Δ	Remarques	
		<i>h</i>	<i>m</i>	<i>s</i>		A_n	A_e	A_z			
					sec.	μ	μ	μ	km.		
7	M_5	12	26	3	15		- 2				
	F	13	6								
	L	13	15								
	M		20	4	13			- 1			
	F		45								
	eL	13	46	26							
	F		54	8							
	eL	15	48.3								
	M	16	2	50	14			+ 1			
	F		35								
	eL	17	40.8								
	M		50	30	15			- 1			
	F	18	13								
	eL	22	42.6								
F		58									
8	eL	0	10								
	M_1		22	42	14			- 2			
	M_2			45	15		- 2				
	M_3		23	23	12	+ 1					
	F	1									
	L	7	29	16							
	M_1		34	43	14			- 1			
	M_2			47	14		- 1				
	F		53								
	eL	21	22.5								
	M		26	54	11			+ 1			
	F		40								
	9	iP	3	50	16	3.6				7450	
		iPR_2		54	53						
iS			59	8							
L		4	8		38						
M_1			20	54	21	+26					

Date	Phases	Heures			T_p	Amplitudes			Δ	Remarques
		<i>h</i>	<i>m</i>	<i>s</i>		A_n	A_e	A_z		
					sec.	μ	μ	μ	km.	
9	M_2	4	20	58	22			-32		
	M_3		25	26	16		-9			
	M_4		29	52	17	+9				
	M_5		31	22	17			+9		
	M_1'	6	19	52	18		+1			
	M_2'		22	39	20			+2		
	F	7								
	e_1	14	14	42						
	e_2		21	33						
	e_3		30	39						
	L		42							
	M_1		45	1	15	+7				
	M_2		49	31	15			+10		
	M_3		51	59	16	+20				
	M_4		56	8	15		+14			
	M_5			18	15			-15		F indistincte.
	L	16	32.2							
	M_1		37	9	15	+1				
	M_2		40	53	13			-1		
	M_3		42	41	13		+1			
	F	17	9							
	eL	17	28.2							
	M_1		32		15	+1				
	M_2		35	4	13		+1			
	M_3			33	13			-1		
	F	18	3							
	eL	18	15.8							Faible trace.
	F		39							
	eL	22	32.5							
	M		52	51	14			+1		
F	23	38								
10	e	0	36	30						
	eL		53.5							
	M_1	1	10	10	15	+5				
	M_2			12	14			-4		

Date	Phases	Heures	T_p	Amplitudes			Δ	Remarques
				A_n	A_e	A_z		
		<i>h m s</i>	sec.	μ	μ	μ	km.	
10	M_3	1 10 40	13	+ 1				Faible trace.
	F	2 11						
	L	8 47.5						
	F	9 10						
	L	14 15.2						
	M_1	26 18	15			-- 3		
	M_2	21	15		+ 3			
	M_3	51	15	+ 1				
	F	15 2						
	L	18 14.2						
	M_1	20 36	14		+ 1			
	M_2	39	13			- 1		
	M_3	46	15	- 1				
	F	44						
	L	22 22.2						
F	23 45							
11	eL	0 35						
	F	46						
	L	6 17.5						
	M	20 52	10			+ 1		
	F	7 6						
	L	13 16.5						
M	21 36	15			+ 1			
F	14 13							
12	e_1	22 34 26						
	e_2	36 44						
	e_3	46 36						
	L	23 14.8						
	M_1	19 21	23		+ 3			
13	M_2	28	23			+ 3		
	F	0 14						

Date	Phases	Heures			T_p	Amplitudes			Δ	Remarques
						A_n	A_e	A_z		
		<i>h</i>	<i>m</i>	<i>s</i>	sec.	μ	μ	μ	km.	
13	<i>L</i>	3	8.5		23					
	<i>F</i>		30							
	<i>L</i>	6	11.2		12					
	<i>F</i>		35							
14	<i>L</i>	2	8.4		16					
	<i>F</i>		22							
	<i>L</i>	3	31.4		18					
	<i>F</i>		45							
	<i>L</i>	5	0.4							
	M_1		6	29	14		+ 1			
	M_2			38	14			+ 1		
	<i>F</i>		37							
	<i>e</i>	8	55	28						<i>F</i> indistincte.
	<i>L</i>	9	10							
	<i>L</i>	22	44		20					
<i>F</i>	23	8								
<i>L</i>	23	12.2		18					Faible.	
<i>F</i>		39								
15	<i>e</i>	2	47	34						
	<i>L</i>	3	39							
	<i>M</i>		54	12	20			+ 1		
	<i>F</i>	4	51							
	<i>e</i>	6	44	32						
	<i>L</i>	7	17							
	M_1		21	52	20	- 2				
	M_2		29	17	18		- 1			
	M_3			21	20			- 2		<i>F</i> pendant le changement des feuilles.
	<i>L</i>	10	31		16					
M_1		44	30	15			- 2			
M_2			44	16		+ 1				
<i>F</i>	11	42								

Date	Phases	Heures	T_p	Amplitudes			Δ	Remarques
				A_n	A_e	A_z		
		<i>h m s</i>	sec.	μ	μ	μ	km.	
16	<i>e</i>	2 54 8						
	<i>L</i>	3 32						
	M_1	41 45	22		+ 2			
	M_2	44 10	16	- 1				
	M_3	45 30	20			+ 2		
	<i>F</i>	4 37						
17	<i>eP</i>	1 47 54					2540	
	<i>iS</i>	52 2	8					
	<i>L</i>	53.9						
	M_1	56 40	14		- 5			
	M_2	41	15	+ 2				
	<i>F</i>	2 37						
18	<i>P</i>	14 0 6					340	
	<i>S</i>	44						
	<i>F</i>	10						
	<i>iP</i>	17 9 55					2450	
	<i>iS</i>	13 56						
	<i>i</i>	14 3						
	<i>L</i>	15.4						
	M_1	18 54	12		+10			
	M_2	56	11	- 4				
	M_3	19 59	10			+ 4		
	<i>F</i>	18 19						
	19	<i>e(P)</i>	14 10 20				(7890)	
<i>e(S)</i>		19 34						
<i>i</i>		45						<i>i</i> d'après N-S.
<i>L</i>		38.2						
M_1		55 12	20			+13		
M_2		20	20		+10			
M_3		29	18	- 4				
<i>F</i>		16 37						
<i>eL</i>		23 21.2	13					Trace.
<i>F</i>		43						

Date	Phases	Heures	T_p	Amplitudes			Δ	Remarques
				A_n	A_e	A_z		
		<i>h m s</i>	sec.	μ	μ	μ	km.	
20	<i>L</i>	3 43.5						
	<i>M</i>	55 21	13	+ 1				
	<i>F</i>	4 30						
	<i>eL</i>	6 33	14					<i>F</i> indistincte.
21	<i>e₁</i>	4 31 36						
	<i>e₂</i>	42 26						
	<i>L</i>	45.5	13					
	<i>F</i>	5 11						
25	<i>e</i>	5 50 27						Très forts MS.
	<i>i₁</i>	6 2 37						
	<i>i₂</i>	11 20						
	<i>L</i>	37						
	<i>M</i>	59 26	24	+43				Entre M et F changement des feuilles.
	<i>F</i>	10 50						
26	<i>e</i>	10 37 47						
	<i>L</i>	43.4						
	<i>M</i>	51 18	7			+ 3		<i>F</i> parmi très forts MS.
27	<i>L</i>	15 15.3	9					Faible.
	<i>F</i>	16 8						
29	<i>P</i>	7 47 53					3970	<i>F</i> pendant le changement des feuilles.
	<i>S</i>	53 38						
	<i>L</i>	8 1.7						
	<i>M</i>	7 5	10			+ 1		
30	<i>iP</i>	11 43 12	5				2450	Onde condensée.
	<i>i</i>	46 17						$\alpha = 14^\circ 12' \text{ SW};$
	<i>iS</i>	47 13	10					$\varphi = 38^\circ 23' \text{ N};$
	<i>L</i>	48.5						$\lambda = 23^\circ 35' \text{ E}.$
	<i>M₁</i>	50 1*	8			-27		Grèce.
	<i>M₂</i>	53 43	8		-21			$\bar{e} = 49^\circ 57'.$
	<i>M₃</i>	55 3	10			- 29		
31	<i>P</i>	10 48 3	2				4700	
	<i>e</i>	49 23						
	<i>S</i>	54 29	10					

Date	Phases	Heures	T_p	Amplitudes			Δ	Remarques
				A_n	A_e	A_z		
		<i>h m s</i>	sec.	μ	μ	μ	km.	
31	<i>L</i>	11 1	26					
	M_1	5 4	16			+ 10		
	M_2	52	15		+ 7			
	M_3	6 55	12	- 4				
	<i>F</i>	12 22						

Rédigé par P. Nikiforov.

Préparé par A. Levitskaja.

Imprimé par ordre de l'Académie des Sciences de l'URSS.

Août 1926.

Le Secrétaire Perpétuel *S. d'Oldenburg.*

— Б Е С П Л А Т Н О —

Institut Physico-Mathématique V. Steklov de l'Académie des Sciences de l'URSS.

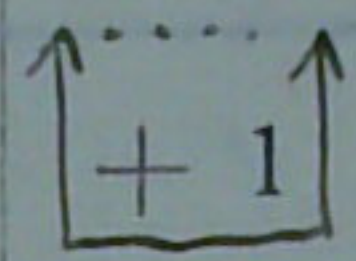
Bulletin mensuel
de la station sismique de 1^{ère} classe
LENINGRAD

$\varphi = 59^{\circ}56'27''$; $\lambda = 30^{\circ}18'19''$; $h = 3$ m.

Sous-sol: argile.

Instruments: Sismographes aperiodiques de Galitzine avec enregistrement galvanométrique.

Date	Phases	Heures	T_p	Amplitudes			Δ	Remarques
				A_n	A_e	A_z		
		<i>h m s</i>	sec.	μ	μ	μ	km.	
2	<i>iP</i>	1 35 20	5; 6				10620	Onde dilatée. Forts MS I.
	<i>PP</i>	38 29	6					
	<i>PPP</i>	41 25						
	$\overline{S_4 P_4 S}$	46 6						
	<i>S</i>	45						
	<i>iPS</i>	48 7						
	<i>L</i>	2 5.5	22					
	<i>M</i> ₁	18 13	20	+ 42				
	<i>M</i> ₂	43	20		+ 42			
	<i>M</i> ₃	19 33	20			+ 59		
	<i>M</i> ₁	24 15	18		- 33			
	<i>M</i> ₅	16	18	+ 30				
	<i>M</i> ₆	20	18			+ 50		
	<i>M</i> ₇	33 56	17	+ 14				
	<i>M</i> ₈	56	16			- 14		
	<i>M</i> ₉	35 3	16		+ 16			
	<i>C</i> ₁	3 39 26	20	+				
	<i>C</i> ₂	35	20		+			
	<i>C</i> ₃	40 7	23			+		
	<i>M</i> ₁ '	4 2 9	18		- 4			
	<i>M</i> ₂ '	14 43	18			+ 4		
	<i>M</i> ₃ '	18 41	16		+ 2			
	<i>F</i>	34						
<i>eL</i>	19 2.4							
<i>M</i> ₁	18 29	18	+ 1					

Date	Phases	Heures	T_p	Amplitudes			Δ	Remarques
				A_n	A_e	A_z		
		<i>h m s</i>	sec.	μ	μ	μ	km.	
2	M_2	19 18 50	19		+2.5			
	M_3	53	20			- 3		
	F	41						
3	e	6 22.8						Faible trace.
	F	30						
	P	22 4 16	2; 5				1960	
	eS	7 35	7					
	L	8.6						
	M_1	11 59	9			- 2		
	M_2	12 1	10	+ 1				
	M_3	24	9					
	F	37						
	4	iP	15 47 35	6				7030
PR_2		52 10						$\alpha = 45^\circ.8$ NS;
iS		56 6	6					$\varphi = 44^\circ 32'$ N;
PS		57 0						$\lambda = 146^\circ 20'$ E.
SR_1		16 0.8	8					Japon.
SR_2		3.9						$e = 59^\circ 49'$.
L		5.7	23					
M_1		17 17	19	+19				
M_2		49	19			-26		
M_3		51	19				+26	
M_4		21 14	15	+ 9				
M_5		24 28	14				- 6	
M_6		33	15				- 7	
F	17 57							
5	L	5 12						Faible.
	F	25						
6	L	1 20.7						MS 1.
	M_1	30 34	18		+ 6			
	M_2	30 41	12				+ 4	
	M_3	34 50	15	+ 4				
	F	2 41						
	i	15 50 56						
	L	16 8.5	26					

Date	Phases	Heures			T_p sec.	Amplitudes			Δ km.	Remarques
		<i>h</i>	<i>m</i>	<i>s</i>		A_n μ	A_e μ	A_z μ		
6	M_1	16	25	27	18	+ 2				
	M_2			41	18			+ 4		
	F	17	24							
7	P	12	37	18					Ca12000 Onde dilatée. Forts MSI.	
	PP		41	44						
	PPP		44	34						
	PS		51	6						
	$iPPS$			33						
	SS		56	50						
	L	13	6		30					
	M_1		23	50	20	- 11				
	M_2			56	21		+ 17			
	M_3		26	11	20			+ 2		
	M_1'	14	41	38	20		+ 2			
	M_2'		42	19	19			+ 3		
	M_3'		43	3	20	+ 2				
F	15	11								
8	L	16	20							
	F		47							
	eL	19	45							
	F	20	14							
9	e	1	25							
	F	2	14							
10	P	10	47	33	1				10530 Onde dilatée.	
	iP			37	4;7					
	PP		51	38	7					
	PPP		53	12	8					
	S_4P_1S		58	13						
	iS			54	13					
	iPS	11	0	44	14					
	SS		6	12						
	L		18							
	M_1		30	39	26	+112				
M_2		31	20	24		+ 94				
M_3			40	19			+ 54			

Date	Phases	Heures			T_p	Amplitudes			Δ	Remarques
						A_n	A_e	A_z		
		<i>h</i>	<i>m</i>	<i>s</i>	sec.	μ	μ	μ	km.	
10	M_4	11	34	59	21		+76			
	M_5		35	2	18	-57				
	M_6			3	19			-93		
	M_7		41	39	18		+49			
	M_8			43	16			-30		
	M_9			59	18	-25				
	C_1		46	32	20	—				
	C_2			36	18			+		
	C_3		47	30	20			—		
	M_1'	13	38	34	16			+ 1		
	M_2'		49	36	18			- 2		
	F	14	47							
	11	iP	12	40	47	2				
PP			44	31						
L		13	17.9		22					
M_1			27	14	15	- 2				
M_2			30	19	16			+ 2		
F		14	6							
12	iP	15	55	2	7				7890	Onde condensée.
	i		57	0						P sur NS très indistincte.
	PPP		59	38						
	S	16	4	16	9					
	SSS		12	34						
	$SSSS$		14	34						
	L		18.9							
	M_1		23	21	18	-46				
	M_2		28	34	12		-16			
	M_3			45	11			-24		
	M_4		39	6	12	+ 7				
	M_5			15	11			+ 7		
	M_6		43	10	12		+ 5			
F	17	49								
15	e	12	13	46						Eloigné.
	L		22.9							
	M_1		31	44	20	+ 3				
	M_2		32	30	20		+ 6			
	M_3		35	16	20			+ 4		
	L_1		45.9							

Date	Phases	Heures			T_p	Amplitudes			Δ	Remarques
		<i>h</i>	<i>m</i>	<i>s</i>		A_n	A_e	A_z		
					sec.	μ	μ	μ	mk.	
15	$M_{1,1}$	12	57	33	20			+ 8		
	$M_{2,1}$			48	20		- 5			
	$M_{3,1}$		58	19	20	+ 2				
	F	14	3							
16	$e(P)$	18	14	13					Ca 13.000	
	P'		17	58						
	PP		18.9							
	PPP		21	34	6					
	S_4P_4S		25	9						
	PS		28	48						
	SS		34	52						
	L		48.2							
	M_1		56	56	20		+37			
	M_2		57	7	24	+ 6				
	M_3	19	4	17	18	+26				
	M_4		6	45	18			-40		
	M_5			51	17		-23			
	M_6		15	18	18			+27		
	C_1		41	10	15			+		
	C_2		42	13	17		+			
	C_3			22	16	+				
	M_1'	20	16	58	18	- 4				
	M_2'		19	24	18			+ 7		
	M_3'		20	57	18		- 6			
F	21	48								
17	L	2	43.7		20					Superposition.
	M		58	59	18			-- 3		
	L_1	3	49.5							
	$M_{1,1}$	4	4	48	15			+ 2		
	F	5	17							
18	L	23	51.6		20					
	M_1		59	53	16					Superposition.
19	M_2	0	1	6						
	L_1		17.6							
	F		35							
	eP	1	9	12					2640	Onde condensée.
	iP			15	5; 7					

Date	Phases	Heures			T_p	Amplitudes			Δ	Remarques	
						A_n	A_e	A_z			
		<i>h</i>	<i>m</i>	<i>s</i>	sec.	μ	μ	μ	km.		
19	<i>iPR</i> ₁	1	10	1						$\alpha = 16^{\circ}31' \text{ SW};$ $\varphi = 36^{\circ}10' \text{ N};$ $\lambda = 22^{\circ}7' \text{ E}.$ Méditerranée, près des côtes méridionales de la Grèce. $\bar{e} = 47^{\circ}42'.$	
	<i>iS</i>		13	28	8; 10						
	<i>iSR</i> ₂		14	32	8						
	<i>L</i>		14.9								
	<i>M</i> ₁		15	20	10		- 8				
	<i>M</i> ₂		16	8	10			+ 7			
	<i>M</i> ₃			13	10	+ 5					
	<i>M</i> ₄		20	23	10	+ 9					
	<i>M</i> ₅			27	8			+ 7			
	<i>M</i> ₆		45	9		-11					
	<i>F</i>	2	38								
	<i>eL</i>	14	52								Faible.
	<i>F</i>	15	50								
	<i>e</i> ₁	20	26	18							Faible.
	<i>e</i> ₂		29	49							
	<i>eL</i>		34.2								
	<i>F</i>	21	16								
22	<i>L</i>	21	43.3		28						
	<i>M</i> ₁		50	43	16	+ 1					
	<i>M</i> ₂		51	23	16			+ 1			
	<i>F</i>	22	15								
23	<i>eL</i>	15	29.2		20						
	<i>M</i>		34	34	15			+ 1			
	<i>F</i>		55								
	<i>L</i>	19	16		24						
	<i>F</i>		52								
24	<i>L</i>	0	12.1		20						
	<i>F</i>		24								
	<i>eP</i>	3	36	56							
	<i>L</i>		42.3		10						
	<i>F</i>	4									
	<i>eP</i>	21	13	38						Faible tr. d. t.	
	<i>F</i>		27								

Date	Phases	Heures			T_p	Amplitudes			Δ	Remarques
		<i>h</i>	<i>m</i>	<i>s</i>		A_n	A_e	A_z		
					sec.	μ	μ	μ	km.	
27	<i>L</i>	2	13	2	20					
	<i>F</i>		37							
	<i>e</i>	6	48	4						
	<i>F</i>	7	4							
28	<i>e</i>	15	49	32	12					
	<i>L</i>		50.6							
	<i>F</i>	16	4							
	<i>eL</i>	16	52.5		19					
	<i>F</i>	17	25							
29	<i>L</i>	4	52.3		19					
	<i>M</i>	5	2	12						
	<i>F</i>		19							
	<i>eL</i>	6	35.5		20					
	<i>F</i>	7	30							
30	<i>L</i>	4	45.5		21				8590	Forts MS.
	<i>F</i>	5	14							
	<i>iP</i>	5	29	35						
	<i>iS</i>		39	25						
	<i>L</i>	6	8.7							
	<i>F</i>		30							

Rédigé par *P. Nikiforov*.Préparé par *A. Levitskaja*.

Imprimé par ordre de l'Académie des Sciences de l'URSS.

Le Secrétaire Perpétuel *S. d'Oldenburg*

Septembre 1927.

— БЕСПЛАТНО —

Institut Physico-Mathématique V. Steklov de l'Académie des Sciences de l'URSS.

Bulletin mensuel
de la station sismique de 1^{ère} classe
LENINGRAD

$\varphi = 59^{\circ}56'27''N$; $\lambda = 30^{\circ}18'19''E$; $h = 3$ m.

Sous-sol: argile.

Instruments: Sismographes apériodiques de Galitzine avec enregistrement galvanométrique.

Date	Phases	Heures	T_p	Amplitudes			Δ	Remarques
				A_n	A_e	A_z		
		<i>h m s</i>	sec.	μ	μ	μ	km.	
1/x	<i>L</i>	9 57.2	28					
	M_1	10 6 42	16		+ 2			
	M_2	9 58	18	+ 2				
	M_3	10 1	16			- 2		
	<i>F</i>	38						
	<i>e</i>	22 33 23	8					MS I.
	<i>L</i>	23 10	26					
	M_1	20 43	17		+ 4			
	M_2	46	16	+ 3				
	M_3	22 8						
2	<i>F</i>	0 45						
3	<i>eL</i>	9 1.5						
	M_1	9 19	16		+ 7			
	M_2	39	14	+ 5				
	<i>F</i>	10 20						
	<i>eP'</i>	19 57 35	8				17300	
	<i>PP</i>	20 1 55	9					
	$\overline{S_4 P_4 S}$	4 47	8					
	<i>PPP</i>	6.3						
	$\overline{S_4 P_4 P_4 S}$	8.3						
	$\overline{S_4 P_4 SP}$	11.9	10					
<i>L</i>	20 40.5							
M_1	21 5 53	22			+96			

Début pendant la pause.

Date	Phases	Heures			T_p sec.	Amplitudes			Δ km.	Remarques
		<i>h</i>	<i>m</i>	<i>s</i>		A_n μ	A_e μ	A_z μ		
3	M_2	21	6	9	22			+ 96		
	M_3			40	23	+133				
	M_4		31	5	24	+ 56				
	M_5			54	19		-96			
	M_6		32	8	19			-110		
	C_1	22	11	4	16			+		
	C_2			23	15	+				
	C_3			47	16		+			
	M_1'		38	39	15		+ 5			
	M_2'		41	56	16			+ 2		
	M_3'		53	31	15	+ 1				
4	F	0	7							
8	eL	20	12.5							
	M_1		19	42	12	+ 1				
	M_2		20	24	12			+ 1		
	F	21	4							
11	eL	6	55.5						F pendant la pause.	
12	eL	3	24.0	16					F parmi MS I.	
13	iP	6	13	12				7360	Onde condensée.	
	PP		16	12						
	eS		21	59						
	iPS		22	30						
	iS_4P_4S		23	26						
	eSS		26.8							
	$eSSS$		29.2							
	L		35.0		27					
	M_1		42	41	22	+ 46				
	M_2			46	23			+ 37		
	M_3		46	56	16			+ 45		
	M_4		48	3	15	+ 29				
	C_1	7	4	43	15	+				
	C_2			52	13			+		
	M_1'	8	45	34	15			+ 1	F pendant la pause.	
	iP	14	28	37					7380	Onde condensée.
PP		32	11							
$ePPP$			53							

Date	Phases	Heures			T_p	Amplitudes			Δ	Remarques
						A_n	A_e	A_z		
		<i>h</i>	<i>m</i>	<i>s</i>	sec.	μ	μ	μ	km.	
13	<i>S</i>	14	37	25						
	<i>eSS</i>			41.9						
	<i>eSSS</i>			45.2						
	<i>L</i>			49.9	32					
	<i>M₁</i>		57	46	25			+ 46		
	<i>M₂</i>		58	16	24	+ 54				
	<i>M₃</i>	15	3	32	16			- 24		
	<i>M₄</i>			36	18	+ 31				
	<i>M₅</i>		5	38	17			- 17		
	<i>M₆</i>			42	16	- 14				
	<i>C₁</i>		25	53	14	+				
	<i>C₂</i>		26	10	15			+		<i>F</i> dans le suivant.
	<i>L</i>	16	45		16					
	<i>F</i>	18	6							
	<i>iP</i>	19	19	4	10				7630	Onde condensée.
	<i>iPP</i>		21	53	9					
	<i>PPP</i>		23	53	9					
	<i>iS</i>		28	5	13					
	<i>PS</i>			49	13					
	<i>SS</i>		32.1		14					
	<i>iSSS</i>		35.5		14					
	<i>L</i>		41.8							
	<i>M₁</i>		50	35	20			+ 60		
	<i>M₂</i>		51	9	20	- 61				
	<i>M₃</i>		55	32	16			- 72		
	<i>M₄</i>		56	1	18	- 70				
	<i>M₅</i>		58	35	15			- 30		
	<i>M₆</i>	20	0	2	17	+ 42				
	<i>M₇</i>		3	53	17	- 42				
	<i>M₈</i>		6	39	14			+ 30		
	<i>C₁</i>	21	5	50	14	-				
	<i>C₂</i>		9	29	12			+		
<i>M₁'</i>	22	5	47	16			+ 3			
<i>M₂'</i>		6	11	15	+ 2					
<i>F</i>	23	20								
14	<i>eP</i>	2	22	5						
	<i>L</i>		47.2		20					
	<i>M₁</i>	3	0	9	14			+ 4		

Date	Phases	Heures			T_p	Amplitudes			Δ	Remarques	
		<i>h</i>	<i>m</i>	<i>s</i>		A_n	A_e	A_z			
					sec.	μ	μ	μ	km.		
14	M_2	3	6	20	14			+ 2			
	F	4	7								
15	L	14	41.0		15						
	F	15	28								
17	i_1	1	4	59							
	i_2		6	1							
	F		10								
	eL	2	38.4		10					Très faible trace	
	F		50								
19	eL	1	1.2						9030	F indistincte	
	e_1	21	5	25							
	e_2		12	13							
	e_3		13	57							
	L		25.1			28					
	M_1		38	6		22					- 4
	M_2		41	11		20					+ 3
	M_3			59		18		+ 2			
	M_4		42	53		15	+ 1				
	F	22	30								
	22	eP	12	47		28					
i				33							
iS			57	40							
L		13	13.9		26						
M_1			21	48	23				+ 11		
M_2			26	40	16				+ 5		
M_3			33	3	13				- 2		
eP		13	47	47							
L		14	12.2		30						
M_1			21	59	23				+ 13		
M_2			26	52	15				+ 7		
M_3			30	26	13				+ 2		
C			48	20	13						
F	15	33									

Date	Phases	Heures	T_p	Amplitudes			Δ	Remarques
				A_n	A_e	A_z		
		<i>h m s</i>	sec.	μ	μ	μ	km.	
22	<i>P</i>	16 49 1					2360	
	<i>i</i>							
	<i>eS</i>	52 55						
	<i>L</i>	55.9						
	<i>M</i>	57 20	13			- 6		
	<i>F</i>	17 33						
	<i>iP</i>	20 4 17	2; 5.5				2320	
	<i>eS</i>	8 7	9					
	<i>L</i>	11.1						
	<i>M₁</i>	12 40	11			+20		
	<i>M₂</i>	15 27	11			-13		
	<i>M₃</i>	17 22	8			+ 6		
	<i>F</i>	21 30						
	23	<i>P</i>	2 3 23					
<i>eS</i>		7 13						
<i>L</i>		9.0						
<i>M₁</i>		11 28	12			+ 4		
<i>M₂</i>		13 12	13			+ 4		
<i>F</i>		3 4						
<i>L</i>		10 36.7					Trace.	
<i>F</i>		11 6						
<i>e</i>		14 47 48						
<i>L</i>		58.6						
<i>M₁</i>		15 3 1	12		+ 2			
<i>M₂</i>		5 51	12			- 1		
<i>M₃</i>		6 45	12	+ 1				
<i>F</i>		30						
25	<i>eL</i>	13 25.4					Trace.	
	<i>F</i>	52						
	<i>eL</i>	14 13.8						
	<i>F</i>	25						
	<i>L</i>	16 50.8	16					
	<i>F</i>	17 12						

Date	Phases	Heures			T_p	Amplitudes			Δ	Remarques
		<i>h</i>	<i>m</i>	<i>s</i>		A_n	A_e	A_z		
					sec.	μ	μ	μ	km.	
26	<i>L</i>	2	53.0		26					
	<i>M</i> ₁	3	2	7	18			+ 3		
	<i>M</i> ₂			11	20		+ 4			
	<i>M</i> ₃		4	8	20	+ 4				
	<i>F</i>		28							
	<i>iP</i>	3	58	35	8				10960	Onde condensée.
	<i>PP</i>	4	2	37	8					$\alpha = 70^{\circ}35' \text{ NE};$
	<i>PPP</i>		5	14	10					$\varphi = 2^{\circ}3' \text{ N};$
	<i>iS₄P₄S</i>		9	11						$\lambda = 141^{\circ}23' \text{ E.}$
	<i>iS</i>		10	14						Région de la Nouvelle Guinée.
	<i>iPS</i>		11	51	10					
	<i>iSS</i>		17	21	15					
	<i>SSS</i>		21	39						
	<i>L</i>		24.0							
	<i>M</i> ₁		37	43	32		+200			
	<i>M</i> ₂		38	12	36			+228		
	<i>M</i> ₃		39	58	33	+ 336				
	<i>M</i> ₄		44	6	25	+213				
	<i>M</i> ₅		46	56	22		+220			
	<i>M</i> ₆			56	22			+263		
	<i>M</i> ₇		49	46	21	- 98				
	<i>M</i> ₈			50	21			+118		
	<i>M</i> ₉		51	52	20		+ 72			
	<i>M</i> ₁₀		54	55	20	- 57				
	<i>M</i> ₁₁		55	3	17			- 61		
	<i>M</i> ₁₂		56	13	21		- 77			
	<i>M</i> ₁ '	6	16	48	18	+ 22				
	<i>M</i> ₂ '		18	27	20			+ 21		
	<i>M</i> ₃ '			42	20		+ 20			
	<i>L</i> ₂	7	2.5							
	<i>M</i> ₁		14	20	19	- 16				
	<i>M</i> ₂			31	20			+ 33		
	<i>M</i> ₃			37	20		+ 30			
	<i>L</i> ₃	9	22.2							
	<i>M</i> ₁		38	5	20	- 5				
	<i>M</i> ₂			5	20		+ 8			
	<i>M</i> ₃			57	20			+ 10		
	<i>F</i>	11	25							
	<i>e</i>	14	29	53						
	<i>i</i>		34	6						

Date	Phases	Heures	T_p	Amplitudes			Δ	Remarques
				A_n	A_e	A_z		
		<i>h m s</i>	sec.	μ	μ	μ	km.	
26	<i>L</i>	15 5	30					
	<i>M</i> ₁	18 47	20	+ 8				
	<i>M</i> ₂	19 13	20			- 16		
	<i>M</i> ₃	16	20		- 11			<i>F</i> dans le suivant.
	<i>L</i>	16 31.0	20					
	<i>M</i>	42 54	18			+ 1		
	<i>F</i>	17 8						
	<i>L</i>	17 55.0						Faible trace.
	<i>F</i>	18 9						
	27	<i>L</i>	0 34.1					
<i>M</i> ₁		45 10	20			+ 4		
<i>M</i> ₂		35	21		+ 5			
<i>M</i> ₃		55	20	+ 2				<i>F</i> dans le suivant.
<i>L</i>		1 43.3	24					
<i>M</i> ₁		56 41	19		- 1			
<i>M</i> ₂		57 32	20			- 2		
<i>M</i> ₃		59 28	19	+ 1				
<i>F</i>		2 26						
<i>eP</i>		5 12 32					(10690)	
<i>PP</i>		16 46						
<i>e(S)</i>		24 0						
<i>L</i>		50.4	24					
<i>M</i> ₁		6 2 46	20	+ 5				
<i>M</i> ₂		59	20			+ 6		
<i>M</i> ₃		3 35	20		+ 2			
<i>M</i> ₄		6 58	16			- 4		<i>F</i> après 8 ^h , pendant la pause.
<i>L</i>		10 19						
<i>M</i>	25 20	20			- 1			
<i>F</i>	11 9							
<i>L</i>	20 51.9	21						
<i>M</i>	21 0 20	15			+ 1			
<i>F</i>	14							
28	<i>e</i>	1 18 47						
	<i>L</i>	47.8	28					

Date	Phases	Heures			T_p	Amplitudes			Δ	Remarques
		<i>h</i>	<i>m</i>	<i>s</i>		A_n	A_e	A_z		
					sec.	μ	μ	μ	km.	
28	M_1	2	3	53	20		+ 5			
	M_2		4	52	20	- 2				
	M_3			56	21			- 4		
	F	3								
	eL	3	27.0		19					
	F		41							
29	iP	0	20	36					8460	
	S		30	19						
	L		43.1		28					
	M_1		54	0	17		+ 6			
	M_2			47	19	- 5				
	M_3			50	17			+ 4		
	M_4		1	15	16			+ 4		
	M_5		2	19	14	- 3				
	F		31							
30	e	1	9	28					S indistincte.	
	F		22							
	iP	1	47	0						
	PP		49	0						
	e		58	1						
	L	2	2.8							
	M_1		9	35	13		- 1			
	M_2			55	13			- 1		
	M_3			59	14	+ 2				
	F		52							
	iP	10	23	19	7					8420
	PP		26	18						
	S		33	0						
	L		52.6							
	M_1		55	35	16	+ 9				
	M_2	11	0	31	12	+ 5				
	M_3		1	13	13			+ 5		
	M_4		2	20	11		+ 4			
	M_5		5	2	15			+ 6		
M_6		9	12	13		+ 4				
M_7		13	35	12			+ 4	F dans le suivant.		

Date	Phases	Heures	T_p	Amplitudes			Δ	Remarques
				A_n	A_e	A_z		
		<i>h m s</i>	sec.	μ	μ	μ	km.	
30	<i>eL</i>	12 36						Faible trace.
	<i>F</i>	13 2						
	<i>iP</i>	13 58 9	7				8210	Onde dilatée.
	<i>i</i>	14 0 6	6					
	<i>PP</i>		56					
	<i>S</i>	7 41						
	<i>e</i>	11 11	11					
	<i>L</i>	20.0						
	<i>M₁</i>	31 47	14			+ 1		
	<i>M₂</i>	34 13	13		+ 2			
	<i>M₃</i>		22	13	+ 1			
	<i>M₄</i>	37 3	15			+ 1		
	<i>F</i>	15 20						
	<i>L</i>	15 28.6	24					
	<i>F</i>	16 11						
	<i>eP</i>	19 53 14	7					
	<i>L</i>	20 15.6	32					
	<i>M₁</i>	23 50	19		+ 4			
	<i>M₂</i>		56	19		+ 6		
	<i>M₃</i>	24 2	20	+ 9				
<i>F</i>	22 0							
31	<i>e</i>	5 24.4						
	<i>F</i>	6 11						

Rédigé par *P. Nikiforov*.Préparé par *A. Levitskaja*.

Imprimé par ordre de l'Académie des Sciences de l'URSS.

Octobre 1927.

Le Secrétaire Perpétuel *S. d'Oldenburg*.

— Б Е С П Л А Т Н О —

 Издательство Академии Наук СССР. Ленинградский Облит № 46179. $\frac{9}{16}$ печ. л.—Тираж 350 экз.
 Типография Издательства Сев.-Зап. Промбюро ВСНХ. Ленинград, Тучкова наб., 2.

Institut Physico-Mathématique V. Steklov de l'Académie des Sciences de l'URSS.

Bulletin mensuel
de la station sismique de 1^{ère} classe
LENINGRAD

$\varphi = 59^{\circ}56'27''$ N; $\lambda = 30^{\circ}18'19''$ E; $h = 3$ m.

Sous-sol: argile.

Instruments: Sismographes aperiodiques de Galitzine avec enregistrement galvanométrique.

Date	Phases	Heures	T_p	Amplitudes			Δ	Remarques
				A_n	A_e	A_z		
		<i>h m s</i>	sec.	μ	μ	μ	km.	
1/x1	<i>P</i>	1 50 36					7810	Onde dilatée. $\alpha = 20^{\circ}9'$ NW; $\varphi = 47^{\circ}21'$ N; $\lambda = 121^{\circ}8'$ W. Amérique du Nord. $e = 61.15'$.
	<i>S</i>	59 45						
	<i>L</i>	2 9	33					
	<i>M</i> ₁	21 12	20			+ 15		
	<i>M</i> ₂	46	17	+ 13				
	<i>M</i> ₃	24 27	15		+ 5			
	<i>M</i> ₄	25 24	13	+ 4				
	<i>M</i> ₅	25	14			- 4		
	<i>C</i> ₁	36 29	13	+				
	<i>C</i> ₂	29	13		+			
	<i>C</i> ₃	39 3	13			+		
	<i>M</i> ₁ '	3 7 37	16		+ 2			
	<i>M</i> ₂ '	57	15			+ 2		
	<i>F</i>	4 41						
	<i>eL</i>	15 41.5						
	<i>M</i> ₁	51 12	17	- 1				
	<i>M</i> ₂	55 48				+ 1		
<i>F</i>	16 15							
2	<i>eL</i>	0 8.2						
	<i>M</i> ₁	14 44	16	- 4				
	<i>M</i> ₂	52	16		- 2			
	<i>M</i> ₃	15 53	16			+ 3		
	<i>F</i>	1						

Date	Phases	Heures	T_p	Amplitudes			Δ	Remarques
				A_n	A_e	A_z		
		<i>h m s</i>	sec.	μ	μ	μ	km.	
2	<i>L</i>	17 3	19					
	<i>F</i>	37						
	<i>iP</i>	19 56 42	8				7360	Onde dilatée.
	<i>i</i>	20 0 45						
	<i>e</i>	5 17						
	<i>S</i>	29						
	<i>PS</i>	6 31						
	<i>L</i>	18.2	18					
	<i>M</i> ₁	26 17	17	+ 5				
	<i>M</i> ₂	27 21	17		+ 7			
	<i>M</i> ₃	28 54	16			+ 4		
	<i>C</i> ₁	49 37	15	—				
	<i>C</i> ₂	56	14			+		<i>F</i> indistincte.
	<i>C</i> ₃	50 14	14			+		
	<i>iP</i> ₁	21 20 6	2				7180	Onde condensée.
	<i>iP</i> ₂	7	2; 6; 10					$\alpha = 38^{\circ}3' \text{ NE};$
	<i>PR</i> ₁	24 3	5; 7					$\varphi = 46^{\circ}43' \text{ N};$
	<i>S</i>	28 44						$\lambda = 156^{\circ}1' \text{ E.}$
	<i>PS</i>	29 2						Iles Kouriles
	<i>eSR</i> ₁	33 5						$\bar{e} = 57^{\circ}43'.$
<i>SR</i> ₂	35 55							
<i>L</i>	41	24						
<i>M</i> ₁	49 43	16	+ 10					
<i>M</i> ₂	46	17			— 6			
<i>M</i> ₃	50 46	17		— 10				
<i>M</i> ₄	53 6	15	— 9					
<i>M</i> ₅	54 0	17		+ 8				
<i>M</i> ₆	56 39	14			+ 5			
<i>M</i> ₇	22 2 22	13	+ 4					
<i>M</i> ₈	50	12			+ 3			
<i>M</i> ₉	53	13		+ 4				
<i>C</i> ₁	12 15	13			+			
<i>C</i> ₂	50	13			+			
3	<i>L</i>	23 32.6						Superposition.
	<i>M</i> ₁	41 48	14			+ 1		
	<i>M</i> ₂	42 36	15	+ 2				
	<i>F</i>	1 38						

Date	Phases	Heures	T_p	Amplitudes			Δ	Remarques
				A_n	A_e	A_z		
		<i>h m s</i>	sec.	μ	μ	μ	km.	
3	<i>e</i>	18 56 2						
	<i>L</i>	38.4	22					
	<i>F</i>	20 30						
4	<i>eL</i>	14 10						Trace.
	<i>F</i>	43						
5	M_1	10 20 24	20		+ 6			Début pendant le changement des feuilles.
	M_2	38	20			+ 6		
	M_3	25 46	17	+ 1				
	M_4	34 27	16	+ 1				
	M_5	45	16		+ 1			
	M_6	46 14	17			+ 2		
	<i>F</i>	11 48						
6	<i>L</i>	10 13.9						
	M_1	44 44	16			+ 2		
	M_2	45 5	15	+ 1				
	<i>F</i>	12 29						
7	<i>e(P)</i>	16 31 29						F parmi MS I.
	<i>L</i>	50.8	22					
9	<i>L</i>	4 51	20					
	<i>F</i>	5 22						
	<i>eL</i>	12 7	18					
11	<i>F</i>	46						
	<i>e(P)</i>	3 12 39					(7570)	MS I.
	<i>eS</i>	21 37						
	<i>L</i>	35.6						
	M_1	44 36	15		+ 2			
	M_2	45 35	15	+ 5				
	M_3	47 27	16			+ 3		
<i>F</i>	4 57							
13	<i>P</i>	3 52 7					7630	
	<i>S</i>	4 1 8						
	<i>L</i>	16.5	22					
	M_1	.23 22	17	+ 7				

Date	Phases	Heures	T_p	Amplitudes			Δ	Remarques
				A_n	A_e	A_z		
		<i>h m s</i>	sec.	μ	μ	μ	km.	
13	M_2	4 25 20	18			+ 4		
	M_3	26	18		+ 6			
	F	5 56						
18	eL	17 19						F parmi très forts MS I.
21	L	11 48	16					
	M_1	52 16	13			+ 2		
	M_2	16	12	+ 1				
	F	12 46						
	e	19 20 25						
	F	20 17						
23	P	0 30 54					7200	
	PR_2	34 55						
	S	39 33						
	L	53.7	20					
	M_1	1 3 34	16			+ 5		
	M_2	36	16	+ 6				
	M_3	41	13		+ 3			
	F	2 8						
	e	18 21 40						
	eL	35						F indistincte.
26	P	0 26 22						P courtes trépidations.
	i	37 15						
	L	37.3						
	M_1	41 1	8		+ 1			
	M_2	13	6			+ 1		
	F	1						
30	L	1 31.4						F parmi MS I.

Rédigé par P. Nikiforov.
Préparé par A. Levitskaja.

Imprimé par ordre de l'Académie des Sciences de l'URSS.

Novembre 1926.

Le Secrétaire Perpétuel S. d'Oldenburg.

— Б Е С П Л А Т Н О —

Institut Physico-Mathématique V. Steklov de l'Académie des Sciences de l'URSS.

Bulletin mensuel
de la station sismique de 1^{ère} classe
LENINGRAD

$\varphi = 59^{\circ}56'27''$ N; $\lambda = 30^{\circ}18'19''$ E; $h = 3$ m.

Sous-sol: argile.

Instruments: Sismographes aperiodiques de Galitzine avec enregistrement galvanométrique.

Date	Phases	Heures	T_p	Amplitudes			Δ	Remarques
				A_n	A_e	A_z		
		<i>h m s</i>	sec.	μ	μ	μ	km.	
1/xii	<i>eL</i>	1 39.9	21					
	M_1	51 44	16		- 2			
	M_2	48	15			+ 1		
	M_3	52	15	+ 1				
	<i>F</i>	2 52						
	<i>eL</i>	5 34.9	12					Faible trace.
	<i>F</i>	6 2						
	<i>eL</i>	17 5.9						MSI.
	<i>F</i>	30						
	2	<i>eL</i>	18 22.7					
	<i>eL</i>	23 48.4						<i>F</i> parmi MSI.
3	<i>L</i>	23 52.5	22					
4	<i>eF</i>	0 49						
5	e_1	19 56 30						
	e_2	42						
	<i>L</i>	20 4.9						
	M_1	16 47	12		+ 1			
	M_2	17 6	14	- 2				
	M_3	18 31	13			+ 2		
	<i>F</i>	21 30						

Date	Phases	Heures	T_p	Amplitudes			Δ	Remarques	
				A_n	A_e	A_z			
		<i>h m s</i>	sec.	μ	μ	μ	km.		
14	<i>eL</i>	17 32.2	30					Trace du tr. d. t. éloigné.	
	<i>F</i>	19 15							
15	<i>L</i>	0 9.5	20						
	<i>F</i>	44							
16	<i>e</i>	0 46.4	20						
	<i>L</i>	1 11							
	M_1	40 40		20		+ 3			
	M_2	43 41		18	- 3				
	<i>F</i>	3							
	<i>eL</i>	4 48	20					Faible.	
	<i>F</i>	5 9							
	<i>iP</i>	17 58 26	4				1900	Onde condensée.	
	<i>S</i>	18 1 40	5						
	<i>L</i>	3.8							
	M_1	8 30	10	- 5					
	M_2	33	10			- 6			
	M_3	58	14		+15				
	<i>F</i>	19 13							
17	<i>P</i>	6 35 36	2				2200	Probablement de même origine que le précédent.	
	<i>S</i>	39 16	5						
	<i>L</i>	40.2							
	M_1	43 43	15	-25					
	M_2	45 24	12		+10				
	<i>P</i>	11 44 25					2170	Onde condensée. $\alpha = 29^\circ 12' \text{ SW};$ $\varphi = 42^\circ 4' \text{ N};$ $\lambda = 17^\circ 38' \text{ E}.$ Mer Adriatique.	
	<i>S</i>	48 3							
	<i>L</i>	49							
	M_1	53 10	14		-15				
	M_2	15	14			+24			
	M_3	54 9	16	+22					
	<i>F</i>	13 32							
18	<i>e</i>	17 46 34					<i>F</i> parmi MSI.		
19	<i>L</i>	9 36.6	22					<i>F</i> pendant le changement du papier.	
	<i>M</i>	41 40	13						

Date	Phases	Heures	T_p	Amplitudes			Δ	Remarques	
				A_n	A_e	A_z			
		<i>h m s</i>	sec.	μ	μ	μ	km.		
20	e_1	10 37 12							
	e_2	41 14							
	L	42.9							
	M_1	46 36	11		+ 2				
	M_2	51	10	+ 1					
	M_3	49 21	10			+ 1			
	F	11 15							
21	L	20 54.2	18					F parmi MSI.	
24	L	6 42.8						F parmi forts MSI.	
25	P	5 17 28	2						
	L	22 24						F parmi forts MSI.	
	L	7 34.6						Forts MSI.	
	M_1	41 19	20	+ 9					
	M_2	47 33	18		- 6				
	M_3	48 37	18			+ 9			
	F	9 12							
	e_1	15 55 46						Très forts MSI.	
	e_2	56 21							
	L	16 7							
	F	32							
	27	L	10 51.2	16-20					F parmi forts MSI.
	30	eL	14 32						
F		43							

Rédigé par P. Nikiforov.
Préparé par A. Levitskaja.

Imprimé par ordre de l'Académie des Sciences de l'URSS.

Décembre 1926.

Le Secrétaire Perpétuel S. d'Oldenburg.

— Б Е С П Л А Т Н О —

Издательство Академии Наук СССР. Ленинградский Гублит № 33443. 3/10 печ. л. — Тираж 350 экз.
Типография Издательства Сев.-Зап. Промбюро ВСНХ. Ленинград, Тучкова наб., 2.